

Ein und Ausgabe: Farbmetrisches Drucker-Reflektiv-System FRS12_95a

Daten für jede Farbe:

u^*_c und Nummer $N_c = 00 - 15$

Elementar-Bunttonexte:

$u^*_c = 16$ Bunttonexte $r00j, r25j, \dots, b75r$

Kontrastreduzierungsfaktor:

$\epsilon_R = 0.9$

Dreiecks-Helligkeit r^*

Lab*/Lab*/M*a*	L*	a*	b*	M*a*	
000	44.18	56.95	27.14	63.08	25 m010
225	47.38	49.13	44.53	66.31	42 o10f
450	57.76	35.24	58.41	68.22	59 o60f
675	69.81	19.13	74.52	76.94	76 o60f
900	87.06	-3.94	97.58	97.66	92 o60f
1125	72.25	-26.89	74.73	79.42	110 y34f
1350	60.82	-43.48	57.15	71.81	127 o60f
1575	52.51	-54.15	38.27	66.31	145 03x
1800	55.08	-44.06	14.13	46.27	162 123x
2025	57.22	-35.64	-40.03	36.15	190 155x
2250	58.9	-29.03	-21.86	36.34	217 077x
2475	57.54	-15.48	-32.25	35.77	244 c20f
2700	46.36	1.15	-37.88	37.9	272 c53f
2925	33.76	27.14	-46.69	54.01	300 c87f
3150	38.71	61.92	-37.78	72.54	329 c67f
3375	45.08	64.27	-3.32	64.36	357 m33x

Ein und Ausgabe: Farbmetrisches Drucker-Reflektiv-System FRS12_95b

Daten für jede Farbe:

u^*_c und Nummer $N_c = 00 - 15$

Elementar-Bunttonexte:

$u^*_c = 16$ Bunttonexte $r00j, r25j, \dots, b75r$

Kontrastreduzierungsfaktor:

$\epsilon_R = 0.9$

Dreiecks-Helligkeit r^*

Lab*/Lab*/M*a*	L*	a*	b*	M*a*	
000	43.8	53.91	39.75	66.98	36
225	47.38	46.65	98.29	98.4	93
450	57.76	35.24	58.41	68.22	59
675	69.81	19.13	74.52	76.94	76
900	87.06	-3.94	97.58	97.66	92
1125	72.25	-26.89	74.73	79.42	110
1350	60.82	-43.48	57.15	71.81	127
1575	52.51	-54.15	38.27	66.31	145
1800	55.08	-44.06	14.13	46.27	162
2025	57.22	-35.64	-40.03	36.15	190
2250	58.9	-29.03	-21.86	36.34	217
2475	57.54	-15.48	-32.25	35.77	244
2700	46.36	1.15	-37.88	37.9	272
2925	33.76	27.14	-46.69	54.01	300
3150	38.71	61.92	-37.78	72.54	329
3375	45.08	64.27	-3.32	64.36	357

Ein und Ausgabe: Farbmetrisches Drucker-Reflektiv-System FRS12_95c

Daten für jede Farbe:

u^*_c und Nummer $N_c = 00 - 15$

Elementar-Bunttonexte:

$u^*_c = 16$ Bunttonexte $r00j, r25j, \dots, b75r$

Kontrastreduzierungsfaktor:

$\epsilon_R = 0.9$

Dreiecks-Helligkeit r^*

Lab*/Lab*/M*a*	L*	a*	b*	M*a*	
000	43.8	53.91	39.75	66.98	36
225	47.38	46.65	98.29	98.4	93
450	57.76	35.24	58.41	68.22	59
675	69.81	19.13	74.52	76.94	76
900	87.06	-3.94	97.58	97.66	92
1125	72.25	-26.89	74.73	79.42	110
1350	60.82	-43.48	57.15	71.81	127
1575	52.51	-54.15	38.27	66.31	145
1800	55.08	-44.06	14.13	46.27	162
2025	57.22	-35.64	-40.03	36.15	190
2250	58.9	-29.03	-21.86	36.34	217
2475	57.54	-15.48	-32.25	35.77	244
2700	46.36	1.15	-37.88	37.9	272
2925	33.76	27.14	-46.69	54.01	300
3150	38.71	61.92	-37.78	72.54	329
3375	45.08	64.27	-3.32	64.36	357

Ein und Ausgabe: Farbmetrisches Drucker-Reflektiv-System FRS12_95d

Daten für jede Farbe:

u^*_c und Nummer $N_c = 00 - 15$

Elementar-Bunttonexte:

$u^*_c = 16$ Bunttonexte $r00j, r25j, \dots, b75r$

Kontrastreduzierungsfaktor:

$\epsilon_R = 0.9$

Dreiecks-Helligkeit r^*

Lab*/Lab*/M*a*	L*	a*	b*	M*a*	
000	43.8	53.91	39.75	66.98	36
225	47.38	46.65	98.29	98.4	93
450	57.76	35.24	58.41	68.22	59
675	69.81	19.13	74.52	76.94	76
900	87.06	-3.94	97.58	97.66	92
1125	72.25	-26.89	74.73	79.42	110
1350	60.82	-43.48	57.15	71.81	127
1575	52.51	-54.15	38.27	66.31	145
1800	55.08	-44.06	14.13	46.27	162
2025	57.22	-35.64	-40.03	36.15	190
2250	58.9	-29.03	-21.86	36.34	217
2475	57.54	-15.48	-32.25	35.77	244
2700	46.36	1.15	-37.88	37.9	272
2925	33.76	27.14	-46.69	54.01	300
3150	38.71	61.92	-37.78	72.54	329
3375	45.08	64.27	-3.32	64.36	357

Ein und Ausgabe: Farbmetrisches Drucker-Reflektiv-System FRS12_95e

Daten für jede Farbe:

u^*_c und Nummer $N_c = 00 - 15$

Elementar-Bunttonexte:

$u^*_c = 16$ Bunttonexte $r00j, r25j, \dots, b75r$

Kontrastreduzierungsfaktor:

$\epsilon_R = 0.9$

Dreiecks-Helligkeit r^*

Lab*/Lab*/M*a*	L*	a*	b*	M*a*	
000	43.8	53.91	39.75	66.98	36
225	47.38	46.65	98.29	98.4	93
450	57.76	35.24	58.41	68.22	59
675	69.81	19.13	74.52	76.94	76
900	87.06	-3.94	97.58	97.66	92
1125	72.25	-26.89	74.73	79.42	110
1350	60.82	-43.48	57.15	71.81	127
1575	52.51	-54.15	38.27	66.31	145
1800	55.08	-44.06	14.13	46.27	162
2025	57.22	-35.64	-40.03	36.15	190
2250	58.9	-29.03	-21.86	36.34	217
2475	57.54	-15.48	-32.25	35.77	244
2700	46.36	1.15	-37.88	37.9	272
2925	33.76	27.14	-46.69	54.01	300
3150	38.71	61.92	-37.78	72.54	329
3375	45.08	64.27	-3.32	64.36	357

Ein und Ausgabe: Farbmetrisches Drucker-Reflektiv-System FRS12_95f

Daten für jede Farbe:

u^*_c und Nummer $N_c = 00 - 15$

Elementar-Bunttonexte:

$u^*_c = 16$ Bunttonexte $r00j, r25j, \dots, b75r$

Kontrastreduzierungsfaktor:

$\epsilon_R = 0.9$

Dreiecks-Helligkeit r^*

Lab*/Lab*/M*a*	L*	a*	b*	M*a*	
000	43.8	53.91	39.75	66.98	36
225	47.38	46.65	98.29	98.4	93
450	57.76	35.24	58.41	68.22	59
675	69.81	19.13	74.52	76.94	76
900	87.06	-3.94	97.58	97.66	92
1125	72.25	-26.89	74.73	79.42	110
1350	60.82	-43.48	57.15	71.81	127
1575	52.51	-54.15	38.27	66.31	145
1800	55.08	-44.06	14.13	46.27	162
2025	57.22	-35.64	-40.03	36.15	190
2250	58.9	-29.03	-21.86	36.34	217
2475	57.54	-15.48	-32.25	35.77	244
2700	46.36	1.15	-37.88	37.9	272
2925	33.76	27.14	-46.69	54.01	300
3150	38.71	61.92	-37.78	72.54	329
3375	45.08	64.27	-3.32	64.36	357

Ein und Ausgabe: Farbmetrisches Drucker-Reflektiv-System FRS12_95g

Daten für jede Farbe:

u^*_c und Nummer $N_c = 00 - 15$

Elementar-Bunttonexte:

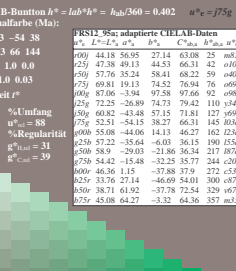
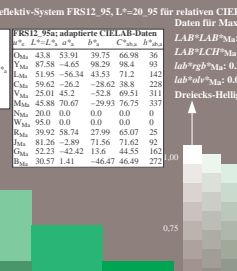
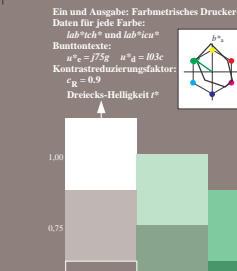
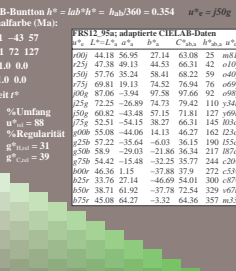
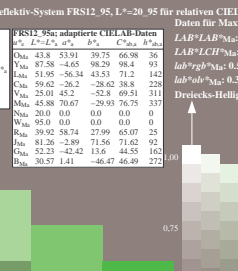
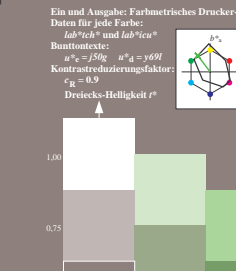
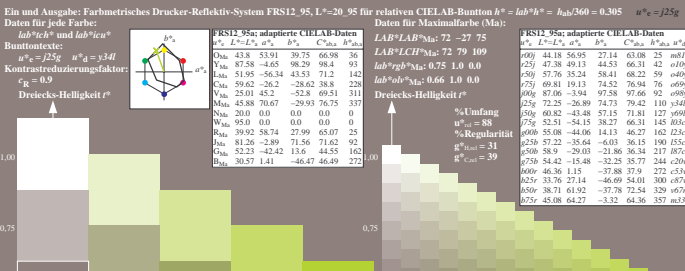
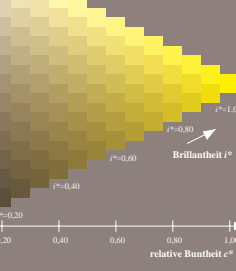
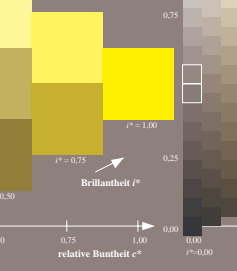
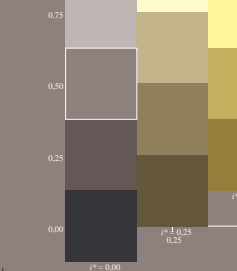
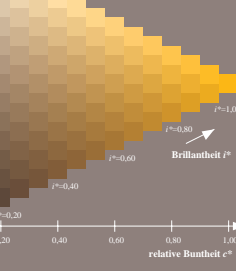
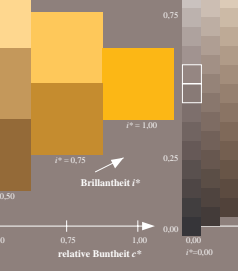
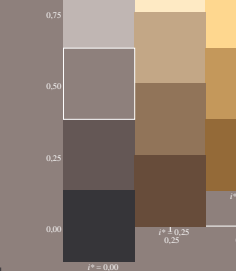
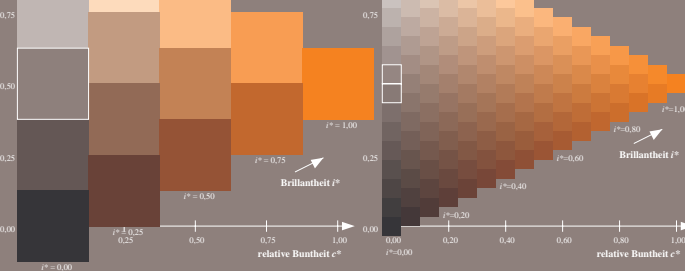
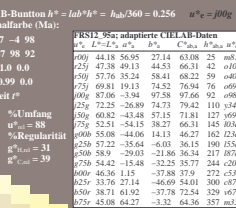
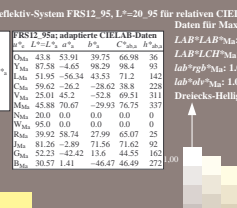
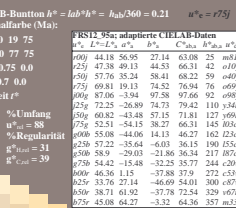
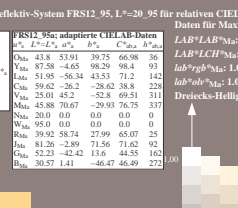
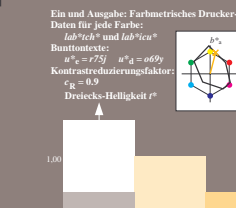
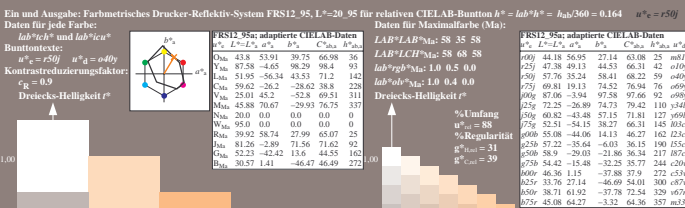
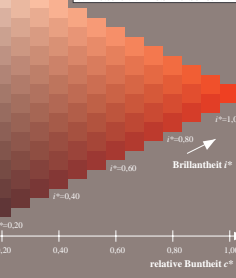
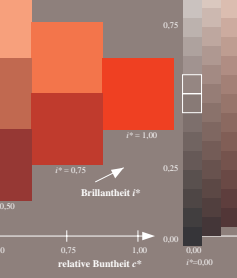
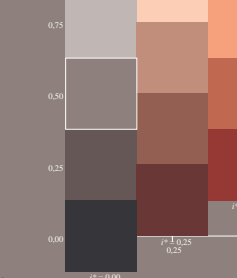
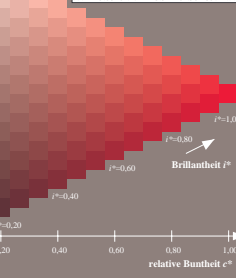
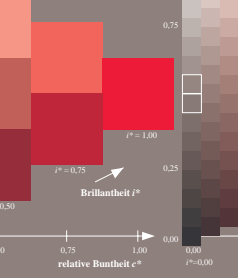
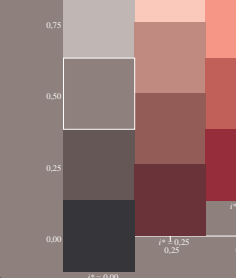
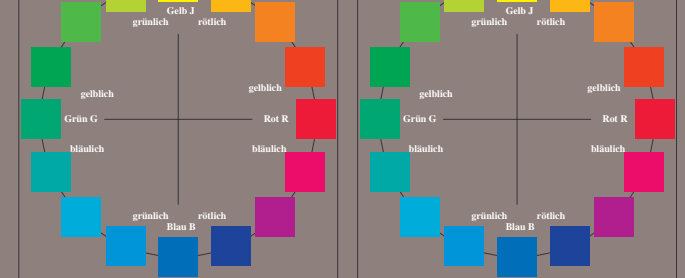
$u^*_c = 16$ Bunttonexte $r00j, r25j, \dots, b75r$

Kontrastreduzierungsfaktor:

$\epsilon_R = 0.9$

Dreiecks-Helligkeit r^*

Lab*/Lab*/M*a*	L*	a*	b*	M*a*	
000	43.8	53.91	39.75	66.98	36
225	47.38	46.65	98.29	98.4	93
450	57.76	35.24	58.41	68.22	59
675	69.81	19.13	74.52	76.94	76
900	87.06	-3.94	97.58	97.66	92
1125	72.25	-26.89	74.73	79.42	110
1350	60.82	-43.48	57.15	71.81	127
1575	52.51	-54.15	38.27	66.31	145
1800	55.08	-44.06	14.13	46.27	162
2025	57.22	-35.64	-40.03	36.15	190
2250	58.9	-29.03	-21.86	36.34	217
2475	57.54	-15.48	-32.25	35.77	244
2700	46.36	1.15	-37.88	37.9	272
2925	33.76	27.14	-46.69	54.01	300
3150	38.71	61.92	-37.78	72.54	329
3375	45.08	64.27	-3.32	64.36	357



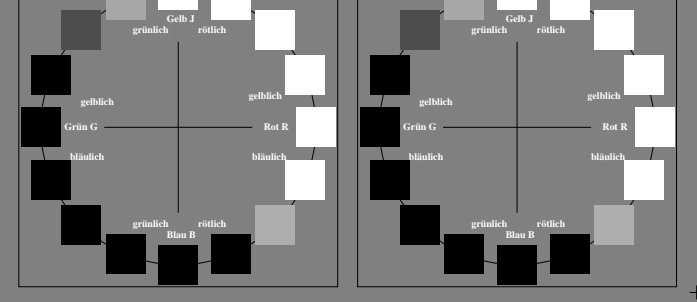
Ein und Ausgabe: Farbmetrisches Drucker-Reflexiv-System FRS12_95a

Daten für jede Farbe:

$u^*_c = 16$ Bunttonne r_{00} , r_{25} , ..., b_{75}

Kontrastreduzierungsfaktor: $c_R = 0.9$

FRS12_95a adaptierte CIELAB-Daten			
L^*	a^*	b^*	M_{95}
000	44.18	56.95	27.14
025	47.38	49.13	44.53
050	57.76	35.24	58.41
075	69.81	19.13	74.52
100	90.00	0.00	90.00
125	72.25	-26.89	74.73
150	60.82	-43.48	57.15
175	52.51	-54.15	38.27
200	55.08	-44.06	14.13
225	57.22	-35.64	-60.31
250	59.89	-29.03	-21.86
275	59.42	-15.48	-32.25
300	46.36	11.15	-37.88
325	33.76	27.14	-46.69
350	38.71	61.92	-37.78
375	45.08	64.27	-3.32
400	45.08	64.27	-3.32



Ein und Ausgabe: Farbmetrisches Drucker-Reflexiv-System FRS12_95, L*20-95 für relativen CIELAB-Buntton $h^* = lab^*h^* = h_{ab}/360 = 0.164$ $u^*_c = 50f$

Daten für jede Farbe:

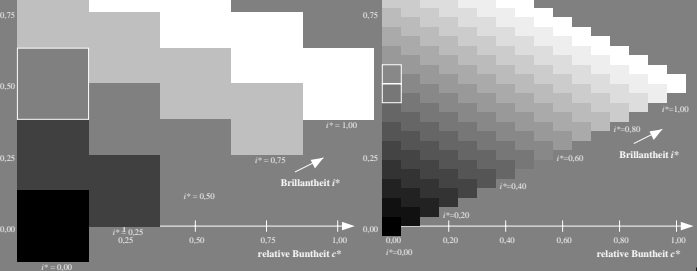
lab^*h^* und lab^*cu^*

Bunttonne: $u^*_c = r_{50}$ $u^*_g = o_{40}$

Kontrastreduzierungsfaktor: $c_R = 0.9$

Dreiecks-Helligkeit e^*

FRS12_95a adaptierte CIELAB-Daten			
L^*	a^*	b^*	M_{95}
000	43.8	53.91	39.75
025	47.38	49.13	44.53
050	57.76	35.24	58.41
075	69.81	19.13	74.52
100	90.00	0.00	90.00
125	72.25	-26.89	74.73
150	60.82	-43.48	57.15
175	52.51	-54.15	38.27
200	55.08	-44.06	14.13
225	57.22	-35.64	-60.31
250	59.89	-29.03	-21.86
275	59.42	-15.48	-32.25
300	46.36	11.15	-37.88
325	33.76	27.14	-46.69
350	38.71	61.92	-37.78
375	45.08	64.27	-3.32
400	45.08	64.27	-3.32



Ein und Ausgabe: Farbmetrisches Drucker-Reflexiv-System FRS12_95, L*20-95 für relativen CIELAB-Buntton $h^* = lab^*h^* = h_{ab}/360 = 0.305$ $u^*_c = 25g$

Daten für jede Farbe:

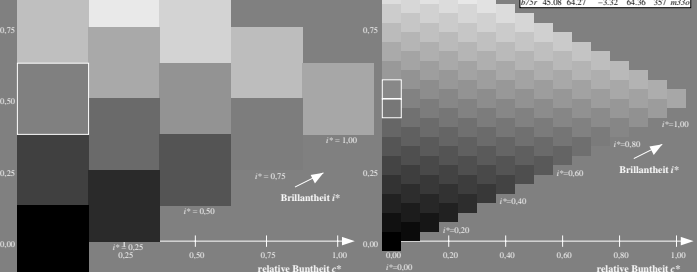
lab^*h^* und lab^*cu^*

Bunttonne: $u^*_c = 25g$ $u^*_g = y_{34}$

Kontrastreduzierungsfaktor: $c_R = 0.9$

Dreiecks-Helligkeit e^*

FRS12_95a adaptierte CIELAB-Daten			
L^*	a^*	b^*	M_{95}
000	43.8	53.91	39.75
025	47.38	49.13	44.53
050	57.76	35.24	58.41
075	69.81	19.13	74.52
100	90.00	0.00	90.00
125	72.25	-26.89	74.73
150	60.82	-43.48	57.15
175	52.51	-54.15	38.27
200	55.08	-44.06	14.13
225	57.22	-35.64	-60.31
250	59.89	-29.03	-21.86
275	59.42	-15.48	-32.25
300	46.36	11.15	-37.88
325	33.76	27.14	-46.69
350	38.71	61.92	-37.78
375	45.08	64.27	-3.32
400	45.08	64.27	-3.32



Ein und Ausgabe: Farbmetrisches Drucker-Reflexiv-System FRS12_95, L*20-95 für relativen CIELAB-Buntton $h^* = lab^*h^* = h_{ab}/360 = 0.071$ $u^*_c = r_{00}$

Daten für jede Farbe:

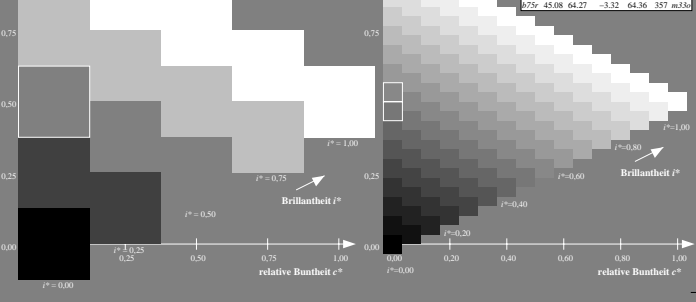
lab^*h^* und lab^*cu^*

Bunttonne: $u^*_c = r_{00}$ $u^*_g = k_{10}$

Kontrastreduzierungsfaktor: $c_R = 0.9$

Dreiecks-Helligkeit e^*

FRS12_95a adaptierte CIELAB-Daten			
L^*	a^*	b^*	M_{95}
000	43.8	53.91	39.75
025	47.38	49.13	44.53
050	57.76	35.24	58.41
075	69.81	19.13	74.52
100	90.00	0.00	90.00
125	72.25	-26.89	74.73
150	60.82	-43.48	57.15
175	52.51	-54.15	38.27
200	55.08	-44.06	14.13
225	57.22	-35.64	-60.31
250	59.89	-29.03	-21.86
275	59.42	-15.48	-32.25
300	46.36	11.15	-37.88
325	33.76	27.14	-46.69
350	38.71	61.92	-37.78
375	45.08	64.27	-3.32
400	45.08	64.27	-3.32



Ein und Ausgabe: Farbmetrisches Drucker-Reflexiv-System FRS12_95, L*20-95 für relativen CIELAB-Buntton $h^* = lab^*h^* = h_{ab}/360 = 0.21$ $u^*_c = r_{75}$

Daten für jede Farbe:

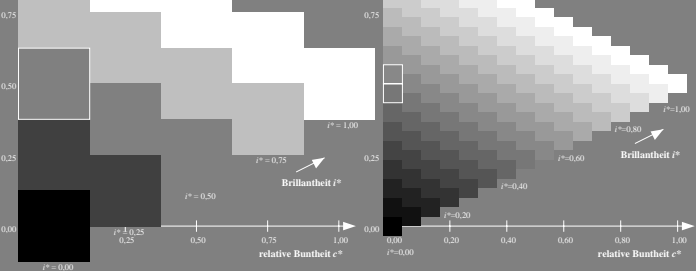
lab^*h^* und lab^*cu^*

Bunttonne: $u^*_c = r_{75}$ $u^*_g = o_{69}$

Kontrastreduzierungsfaktor: $c_R = 0.9$

Dreiecks-Helligkeit e^*

FRS12_95a adaptierte CIELAB-Daten			
L^*	a^*	b^*	M_{95}
000	43.8	53.91	39.75
025	47.38	49.13	44.53
050	57.76	35.24	58.41
075	69.81	19.13	74.52
100	90.00	0.00	90.00
125	72.25	-26.89	74.73
150	60.82	-43.48	57.15
175	52.51	-54.15	38.27
200	55.08	-44.06	14.13
225	57.22	-35.64	-60.31
250	59.89	-29.03	-21.86
275	59.42	-15.48	-32.25
300	46.36	11.15	-37.88
325	33.76	27.14	-46.69
350	38.71	61.92	-37.78
375	45.08	64.27	-3.32
400	45.08	64.27	-3.32



Ein und Ausgabe: Farbmetrisches Drucker-Reflexiv-System FRS12_95, L*20-95 für relativen CIELAB-Buntton $h^* = lab^*h^* = h_{ab}/360 = 0.354$ $u^*_c = 50g$

Daten für jede Farbe:

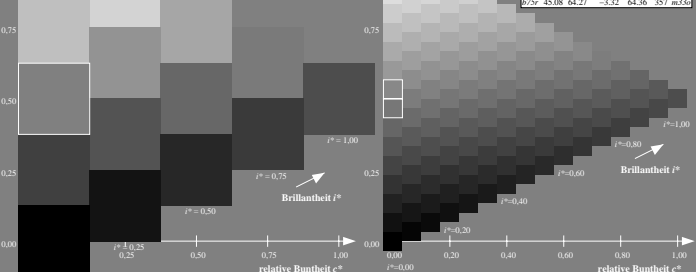
lab^*h^* und lab^*cu^*

Bunttonne: $u^*_c = 50g$ $u^*_g = y_{69}$

Kontrastreduzierungsfaktor: $c_R = 0.9$

Dreiecks-Helligkeit e^*

FRS12_95a adaptierte CIELAB-Daten			
L^*	a^*	b^*	M_{95}
000	43.8	53.91	39.75
025	47.38	49.13	44.53
050	57.76	35.24	58.41
075	69.81	19.13	74.52
100	90.00	0.00	90.00
125	72.25	-26.89	74.73
150	60.82	-43.48	57.15
175	52.51	-54.15	38.27
200	55.08	-44.06	14.13
225	57.22	-35.64	-60.31
250	59.89	-29.03	-21.86
275	59.42	-15.48	-32.25
300	46.36	11.15	-37.88
325	33.76	27.14	-46.69
350	38.71	61.92	-37.78
375	45.08	64.27	-3.32
400	45.08	64.27	-3.32



Ein und Ausgabe: Farbmetrisches Drucker-Reflexiv-System FRS12_95, L*20-95 für relativen CIELAB-Buntton $h^* = lab^*h^* = h_{ab}/360 = 0.117$ $u^*_c = r_{25}$

Daten für jede Farbe:

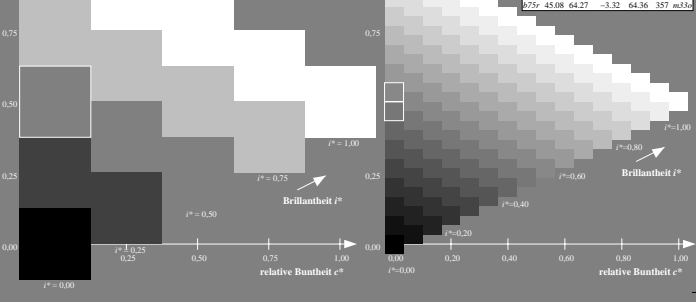
lab^*h^* und lab^*cu^*

Bunttonne: $u^*_c = r_{25}$ $u^*_g = o_{10}$

Kontrastreduzierungsfaktor: $c_R = 0.9$

Dreiecks-Helligkeit e^*

FRS12_95a adaptierte CIELAB-Daten			
L^*	a^*	b^*	M_{95}
000	43.8	53.91	39.75
025	47.38	49.13	44.53
050	57.76	35.24	58.41
075	69.81	19.13	74.52
100	90.00	0.00	90.00
125	72.25	-26.89	74.73
150	60.82	-43.48	57.15
175	52.51	-54.15	38.27
200	55.08	-44.06	14.13
225	57.22	-35.64	-60.31
250	59.89	-29.03	-21.86
275	59.42	-15.48	-32.25
300	46.36	11.15	-37.88
325	33.76	27.14	-46.69
350	38.71	61.92	-37.78
375	45.08	64.27	-3.32
400	45.08	64.27	-3.32



Ein und Ausgabe: Farbmetrisches Drucker-Reflexiv-System FRS12_95, L*20-95 für relativen CIELAB-Buntton $h^* = lab^*h^* = h_{ab}/360 = 0.256$ $u^*_c = 100g$

Daten für jede Farbe:

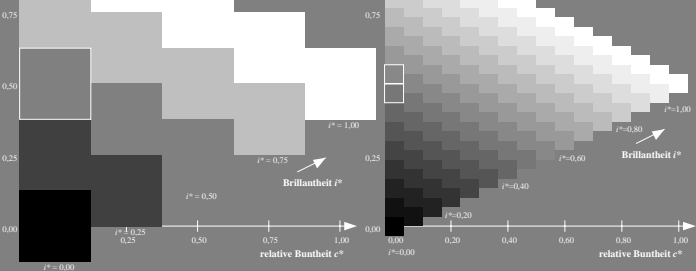
lab^*h^* und lab^*cu^*

Bunttonne: $u^*_c = 100g$ $u^*_g = o_{99}$

Kontrastreduzierungsfaktor: $c_R = 0.9$

Dreiecks-Helligkeit e^*

FRS12_95a adaptierte CIELAB-Daten			
L^*	a^*	b^*	M_{95}
000	43.8	53.91	39.75
025	47.38	49.13	44.53
050	57.76	35.24	58.41
075	69.81	19.13	74.52
100	90.00	0.00	90.00
125	72.25	-26.89	74.73
150	60.82	-43.48	57.15
175	52.51	-54.15	38.27
200	55.08	-44.06	14.13
225	57.22	-35.64	-60.31
250	59.89	-29.03	-21.86
275	59.42	-15.48	-32.25
300	46.36	11.15	-37.88
325	33.76	27.14	-46.69
350	38.71	61.92	-37.78
375	45.08	64.27	-3.32
400	45.08	64.27	-3.32



Ein und Ausgabe: Farbmetrisches Drucker-Reflexiv-System FRS12_95, L*20-95 für relativen CIELAB-Buntton $h^* = lab^*h^* = h_{ab}/360 = 0.402$ $u^*_c = 75g$

Daten für jede Farbe:

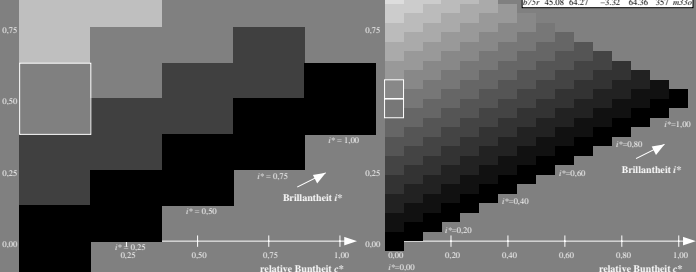
lab^*h^* und lab^*cu^*

Bunttonne: $u^*_c = 75g$ $u^*_g = 103c$

Kontrastreduzierungsfaktor: $c_R = 0.9$

Dreiecks-Helligkeit e^*

FRS12_95a adaptierte CIELAB-Daten			
L^*	a^*	b^*	M_{95}
000	43.8	53.91	39.75
025	47.38	49.13	44.53
050	57.76	35.24	58.41
075	69.81	19.13	74.52
100	90.00	0.00	90.00
125	72.25	-26.89	74.73
150	60.82	-43.48	57.15
175	52.51	-54.15	38.27
200	55.08	-44.06	14.13
225	57.22	-35.64	-60.31
250	59.89	-29.03	-21.86
275	59.42	-15.48	-32.25
300	46.36	11.15	-37.88
325	33.76	27.14	-46.69
350	38.71	61.92	-37.78
375	45.08	64.27	-3.32
400	45.08	64.27	-3.32



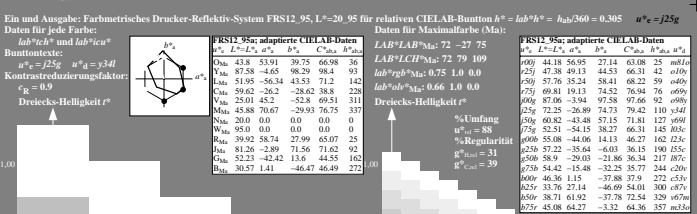
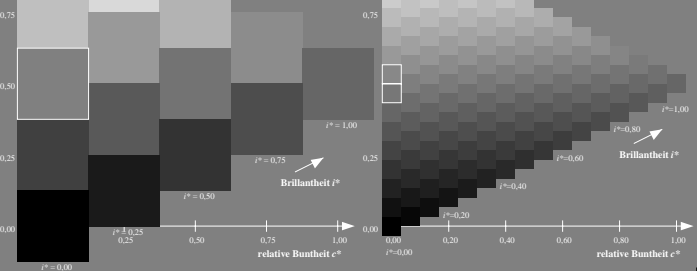
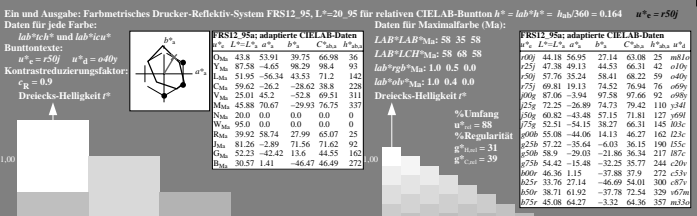
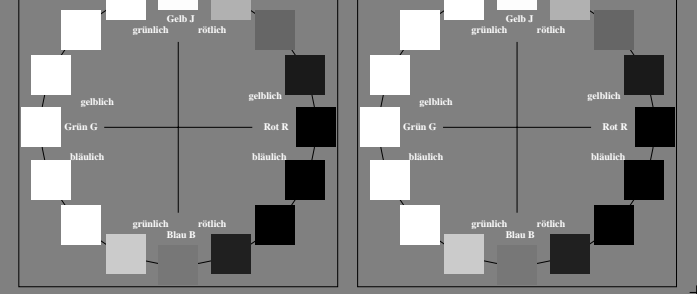
Ein und Ausgabe: Farbmetrisches Drucker-Reflexiv-System FRS12_95a

Daten für jede Farbe:

$u^*_c = 16$ Bunttonne $r_{0.025}$, $r_{0.25}$, ..., $r_{1.0}$

Kontrastreduzierungsfaktor: $c_R = 0.9$

LAB/LAB*Ma: 44 57 27	LAB/LAB*Ma: 44 57 27	LAB/LAB*Ma: 44 57 27
000	44.18	56.95
010	44.18	56.95
025	44.18	56.95
050	44.18	56.95
075	44.18	56.95
100	44.18	56.95



Ein und Ausgabe: Farbmetrisches Drucker-Reflexiv-System FRS12_95, L*20-95 für relativen CIELAB-Buntton $h^* = lab^*h^* = h_{ab}/360 = 0.071$ $u^*_c = r_{0.0}$

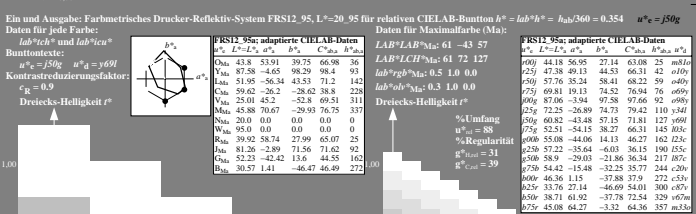
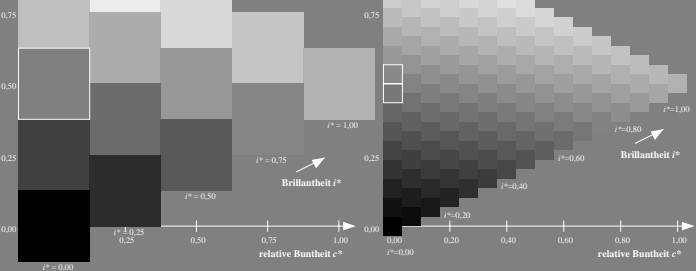
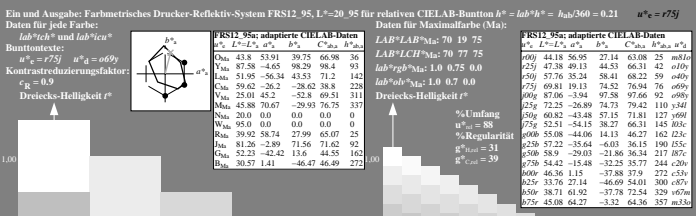
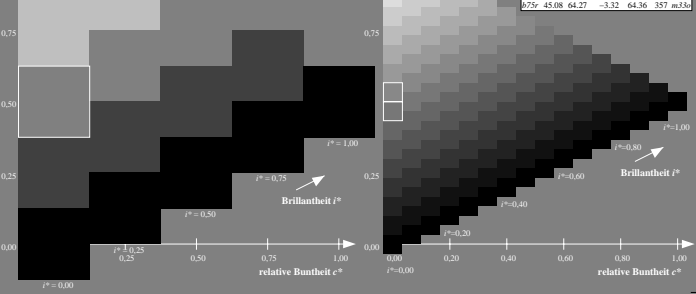
Daten für jede Farbe:

$u^*_c = r_{0.0}$ $u^*_a = 8.10$

Kontrastreduzierungsfaktor: $c_R = 0.9$

Dreiecks-Helligkeit r^*

LAB/LAB*Ma: 44 57 27	LAB/LAB*Ma: 44 57 27	LAB/LAB*Ma: 44 57 27
000	44.18	56.95
010	44.18	56.95
025	44.18	56.95
050	44.18	56.95
075	44.18	56.95
100	44.18	56.95



Ein und Ausgabe: Farbmetrisches Drucker-Reflexiv-System FRS12_95, L*20-95 für relativen CIELAB-Buntton $h^* = lab^*h^* = h_{ab}/360 = 0.117$ $u^*_c = r_{0.25}$

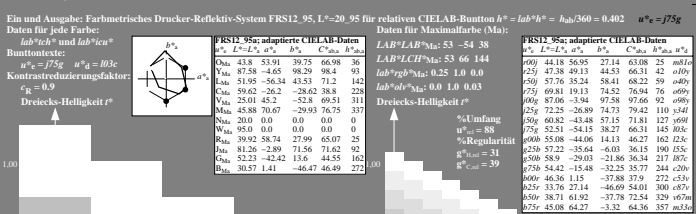
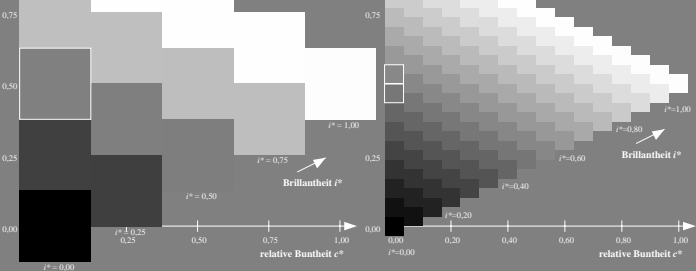
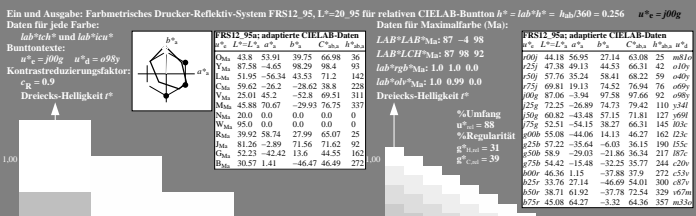
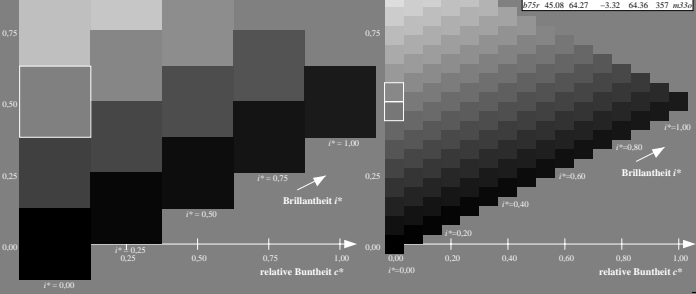
Daten für jede Farbe:

$u^*_c = r_{0.25}$ $u^*_a = 0.01y$

Kontrastreduzierungsfaktor: $c_R = 0.9$

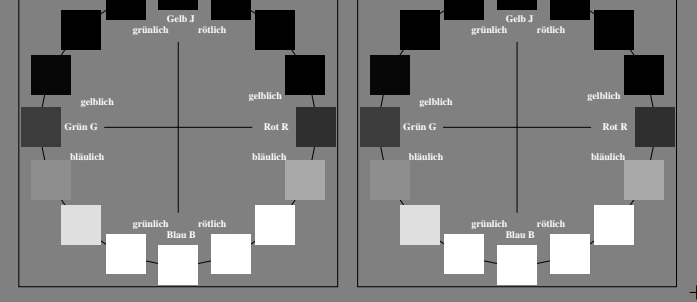
Dreiecks-Helligkeit r^*

LAB/LAB*Ma: 47 49 45	LAB/LAB*Ma: 47 49 45	LAB/LAB*Ma: 47 49 45
000	47.49	45.00
010	47.49	45.00
025	47.49	45.00
050	47.49	45.00
075	47.49	45.00
100	47.49	45.00



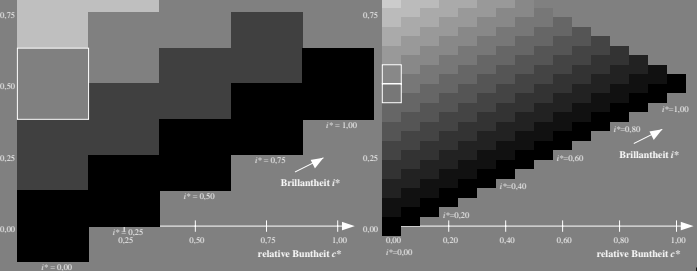
Ein und Ausgabe: Farbmetrisches Drucker-Reflexiv-System FRS12_95a
 Daten für jede Farbe:
 $u^*_c = 16$ Bunttoner: r00j, r25j, ..., b75r
 Kontrastreduzierungsfaktor:
 $c^*_R = 0.9$

LAB/LAB*	LAB/LAB*	LAB/LAB*	LAB/LAB*
000	44.18	56.95	27.14
225	47.38	49.13	44.53
450	57.76	35.24	58.41
675	69.81	19.13	74.52
900	87.06	-3.94	97.58
1125	72.25	-26.89	74.73
1350	60.82	-43.48	57.15
1575	52.51	-54.15	38.27
1800	50.00	-44.06	14.13
2025	57.22	-35.64	-40.03
2250	65.08	-29.03	-21.86
2475	57.54	-15.48	-32.25
2700	46.36	1.15	-37.88
2925	33.76	27.14	-46.69
3150	38.71	61.92	-37.78
3375	45.08	64.27	-3.32



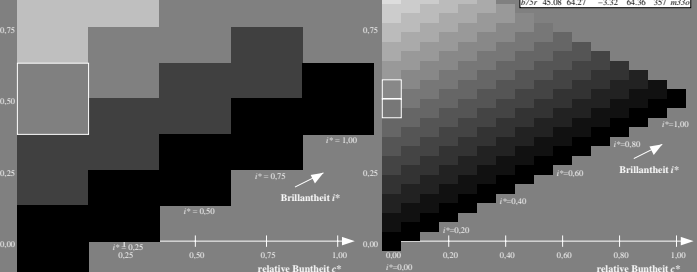
Ein und Ausgabe: Farbmetrisches Drucker-Reflexiv-System FRS12_95, L*20-95 für relativen CIELAB-Buntton h* = lab*h* = h_{ab}/360 = 0.164 u_c* = s50j
 Daten für jede Farbe:
 Kontrastreduzierungsfaktor:
 $c^*_R = 0.9$

LAB/LAB*	LAB/LAB*	LAB/LAB*	LAB/LAB*
000	43.8	53.91	39.75
225	47.38	49.13	44.53
450	57.76	35.24	58.41
675	69.81	19.13	74.52
900	87.06	-3.94	97.58
1125	72.25	-26.89	74.73
1350	60.82	-43.48	57.15
1575	52.51	-54.15	38.27
1800	50.00	-44.06	14.13
2025	57.22	-35.64	-40.03
2250	65.08	-29.03	-21.86
2475	57.54	-15.48	-32.25
2700	46.36	1.15	-37.88
2925	33.76	27.14	-46.69
3150	38.71	61.92	-37.78
3375	45.08	64.27	-3.32



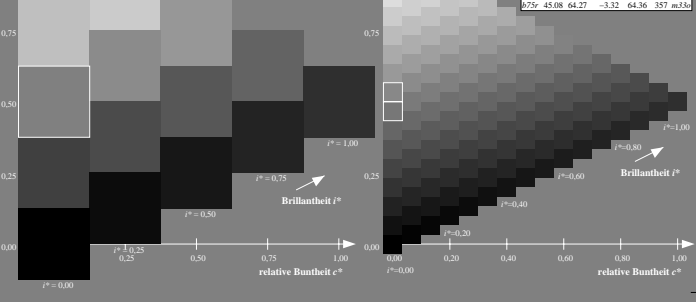
Ein und Ausgabe: Farbmetrisches Drucker-Reflexiv-System FRS12_95, L*20-95 für relativen CIELAB-Buntton h* = lab*h* = h_{ab}/360 = 0.305 u_c* = j25g
 Daten für jede Farbe:
 Kontrastreduzierungsfaktor:
 $c^*_R = 0.9$

LAB/LAB*	LAB/LAB*	LAB/LAB*	LAB/LAB*
000	43.8	53.91	39.75
225	47.38	49.13	44.53
450	57.76	35.24	58.41
675	69.81	19.13	74.52
900	87.06	-3.94	97.58
1125	72.25	-26.89	74.73
1350	60.82	-43.48	57.15
1575	52.51	-54.15	38.27
1800	50.00	-44.06	14.13
2025	57.22	-35.64	-40.03
2250	65.08	-29.03	-21.86
2475	57.54	-15.48	-32.25
2700	46.36	1.15	-37.88
2925	33.76	27.14	-46.69
3150	38.71	61.92	-37.78
3375	45.08	64.27	-3.32



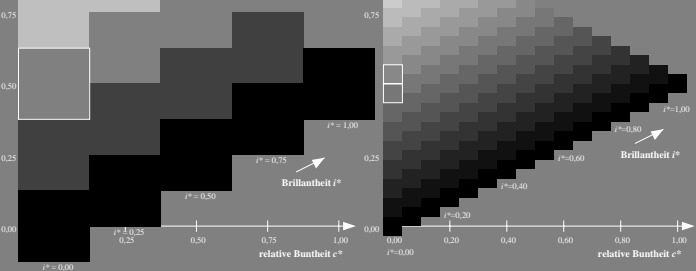
Ein und Ausgabe: Farbmetrisches Drucker-Reflexiv-System FRS12_95, L*20-95 für relativen CIELAB-Buntton h* = lab*h* = h_{ab}/360 = 0.071 u_c* = r00j
 Daten für jede Farbe:
 Kontrastreduzierungsfaktor:
 $c^*_R = 0.9$

LAB/LAB*	LAB/LAB*	LAB/LAB*	LAB/LAB*
000	43.8	53.91	39.75
225	47.38	49.13	44.53
450	57.76	35.24	58.41
675	69.81	19.13	74.52
900	87.06	-3.94	97.58
1125	72.25	-26.89	74.73
1350	60.82	-43.48	57.15
1575	52.51	-54.15	38.27
1800	50.00	-44.06	14.13
2025	57.22	-35.64	-40.03
2250	65.08	-29.03	-21.86
2475	57.54	-15.48	-32.25
2700	46.36	1.15	-37.88
2925	33.76	27.14	-46.69
3150	38.71	61.92	-37.78
3375	45.08	64.27	-3.32



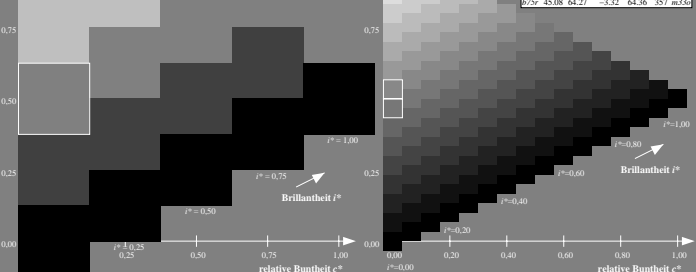
Ein und Ausgabe: Farbmetrisches Drucker-Reflexiv-System FRS12_95, L*20-95 für relativen CIELAB-Buntton h* = lab*h* = h_{ab}/360 = 0.21 u_c* = r75j
 Daten für jede Farbe:
 Kontrastreduzierungsfaktor:
 $c^*_R = 0.9$

LAB/LAB*	LAB/LAB*	LAB/LAB*	LAB/LAB*
000	43.8	53.91	39.75
225	47.38	49.13	44.53
450	57.76	35.24	58.41
675	69.81	19.13	74.52
900	87.06	-3.94	97.58
1125	72.25	-26.89	74.73
1350	60.82	-43.48	57.15
1575	52.51	-54.15	38.27
1800	50.00	-44.06	14.13
2025	57.22	-35.64	-40.03
2250	65.08	-29.03	-21.86
2475	57.54	-15.48	-32.25
2700	46.36	1.15	-37.88
2925	33.76	27.14	-46.69
3150	38.71	61.92	-37.78
3375	45.08	64.27	-3.32



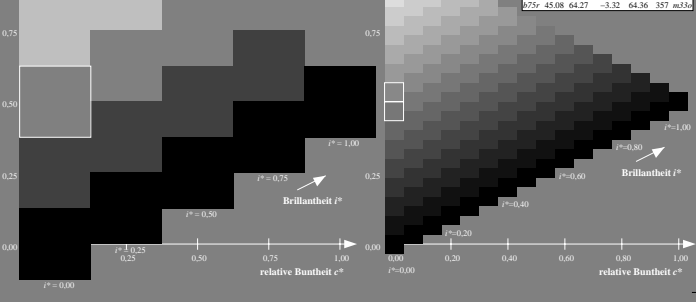
Ein und Ausgabe: Farbmetrisches Drucker-Reflexiv-System FRS12_95, L*20-95 für relativen CIELAB-Buntton h* = lab*h* = h_{ab}/360 = 0.354 u_c* = s50g
 Daten für jede Farbe:
 Kontrastreduzierungsfaktor:
 $c^*_R = 0.9$

LAB/LAB*	LAB/LAB*	LAB/LAB*	LAB/LAB*
000	43.8	53.91	39.75
225	47.38	49.13	44.53
450	57.76	35.24	58.41
675	69.81	19.13	74.52
900	87.06	-3.94	97.58
1125	72.25	-26.89	74.73
1350	60.82	-43.48	57.15
1575	52.51	-54.15	38.27
1800	50.00	-44.06	14.13
2025	57.22	-35.64	-40.03
2250	65.08	-29.03	-21.86
2475	57.54	-15.48	-32.25
2700	46.36	1.15	-37.88
2925	33.76	27.14	-46.69
3150	38.71	61.92	-37.78
3375	45.08	64.27	-3.32



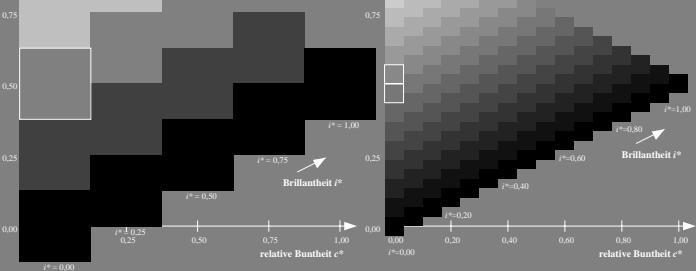
Ein und Ausgabe: Farbmetrisches Drucker-Reflexiv-System FRS12_95, L*20-95 für relativen CIELAB-Buntton h* = lab*h* = h_{ab}/360 = 0.117 u_c* = r25j
 Daten für jede Farbe:
 Kontrastreduzierungsfaktor:
 $c^*_R = 0.9$

LAB/LAB*	LAB/LAB*	LAB/LAB*	LAB/LAB*
000	43.8	53.91	39.75
225	47.38	49.13	44.53
450	57.76	35.24	58.41
675	69.81	19.13	74.52
900	87.06	-3.94	97.58
1125	72.25	-26.89	74.73
1350	60.82	-43.48	57.15
1575	52.51	-54.15	38.27
1800	50.00	-44.06	14.13
2025	57.22	-35.64	-40.03
2250	65.08	-29.03	-21.86
2475	57.54	-15.48	-32.25
2700	46.36	1.15	-37.88
2925	33.76	27.14	-46.69
3150	38.71	61.92	-37.78
3375	45.08	64.27	-3.32



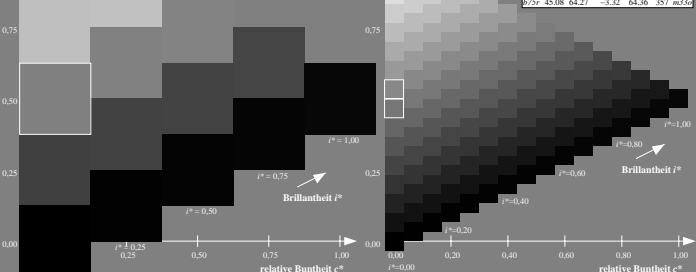
Ein und Ausgabe: Farbmetrisches Drucker-Reflexiv-System FRS12_95, L*20-95 für relativen CIELAB-Buntton h* = lab*h* = h_{ab}/360 = 0.256 u_c* = j00g
 Daten für jede Farbe:
 Kontrastreduzierungsfaktor:
 $c^*_R = 0.9$

LAB/LAB*	LAB/LAB*	LAB/LAB*	LAB/LAB*
000	43.8	53.91	39.75
225	47.38	49.13	44.53
450	57.76	35.24	58.41
675	69.81	19.13	74.52
900	87.06	-3.94	97.58
1125	72.25	-26.89	74.73
1350	60.82	-43.48	57.15
1575	52.51	-54.15	38.27
1800	50.00	-44.06	14.13
2025	57.22	-35.64	-40.03
2250	65.08	-29.03	-21.86
2475	57.54	-15.48	-32.25
2700	46.36	1.15	-37.88
2925	33.76	27.14	-46.69
3150	38.71	61.92	-37.78
3375	45.08	64.27	-3.32



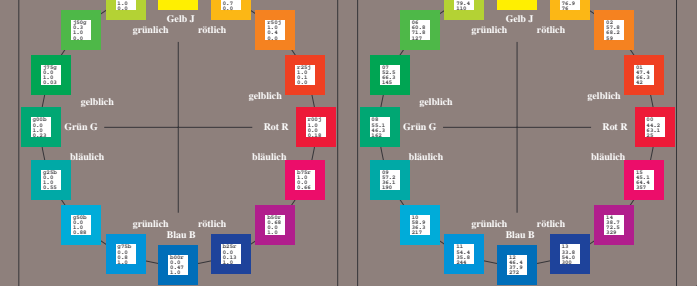
Ein und Ausgabe: Farbmetrisches Drucker-Reflexiv-System FRS12_95, L*20-95 für relativen CIELAB-Buntton h* = lab*h* = h_{ab}/360 = 0.402 u_c* = j75g
 Daten für jede Farbe:
 Kontrastreduzierungsfaktor:
 $c^*_R = 0.9$

LAB/LAB*	LAB/LAB*	LAB/LAB*	LAB/LAB*
000	43.8	53.91	39.75
225	47.38	49.13	44.53
450	57.76	35.24	58.41
675	69.81	19.13	74.52
900	87.06	-3.94	97.58
1125	72.25	-26.89	74.73
1350	60.82	-43.48	57.15
1575	52.51	-54.15	38.27
1800	50.00	-44.06	14.13
2025	57.22	-35.64	-40.03
2250	65.08	-29.03	-21.86
2475	57.54	-15.48	-32.25
2700	46.36	1.15	-37.88
2925	33.76	27.14	-46.69
3150	38.71	61.92	-37.78
3375	45.08	64.27	-3.32

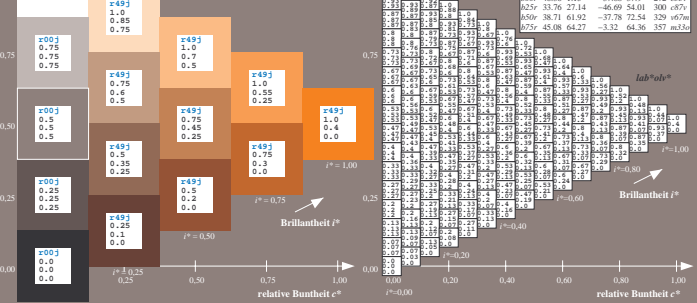


Schwarz—Separation leer

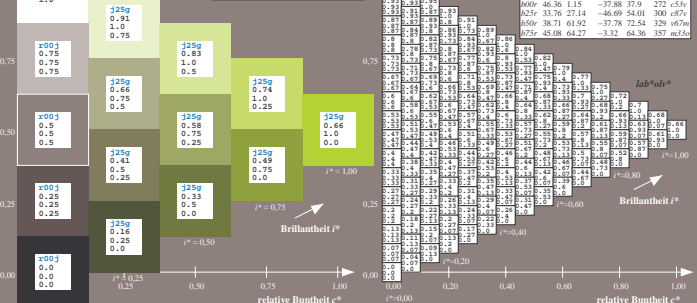
Ein und Ausgabe: Farbmatisches Drucker-Reflexiv-System FRS12_95a
 Daten für jede Farbe:
 $u^*_c = 0$ $u^*_m = 0$ $u^*_y = 0$
 Elementar-Diagramm:
 $u^*_c = 16$ Bunttoner: r025j... b75r
 Kontrastreduzierungs-faktor:
 $c_R = 0.9$



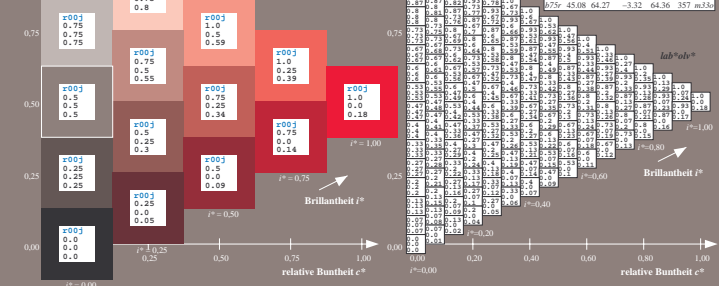
Ein und Ausgabe: Farbmatisches Drucker-Reflexiv-System FRS12_95, L*20-95 für relativen CIELAB-Buntton $h^* = lab^*h^* = h^*_ab/360 = 0.164$
 Daten für jede Farbe:
 $u^*_c = r50j$ $u^*_m = o69y$
 Kontrastreduzierungs-faktor:
 $c_R = 0.9$
 Dreiecks-Helligkeit e^*



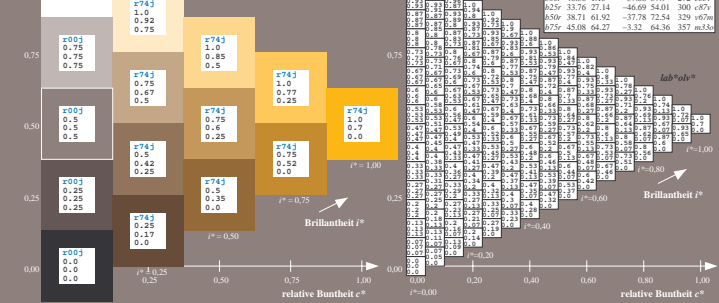
Ein und Ausgabe: Farbmatisches Drucker-Reflexiv-System FRS12_95, L*20-95 für relativen CIELAB-Buntton $h^* = lab^*h^* = h^*_ab/360 = 0.305$
 Daten für jede Farbe:
 $u^*_c = j25g$ $u^*_m = y34l$
 Kontrastreduzierungs-faktor:
 $c_R = 0.9$
 Dreiecks-Helligkeit e^*



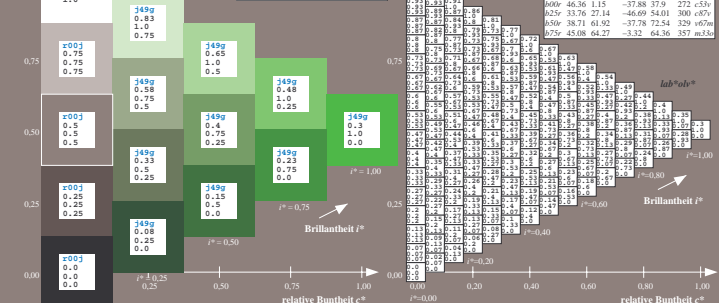
Ein und Ausgabe: Farbmatisches Drucker-Reflexiv-System FRS12_95, L*20-95 für relativen CIELAB-Buntton $h^* = lab^*h^* = h^*_ab/360 = 0.071$
 Daten für jede Farbe:
 $u^*_c = r00j$ $u^*_m = o10y$
 Kontrastreduzierungs-faktor:
 $c_R = 0.9$
 Dreiecks-Helligkeit e^*



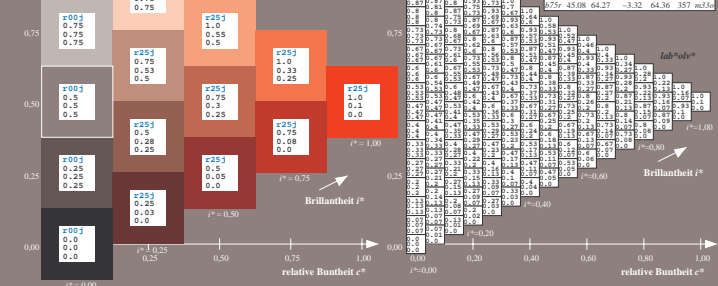
Ein und Ausgabe: Farbmatisches Drucker-Reflexiv-System FRS12_95, L*20-95 für relativen CIELAB-Buntton $h^* = lab^*h^* = h^*_ab/360 = 0.21$
 Daten für jede Farbe:
 $u^*_c = r50j$ $u^*_m = o69y$
 Kontrastreduzierungs-faktor:
 $c_R = 0.9$
 Dreiecks-Helligkeit e^*



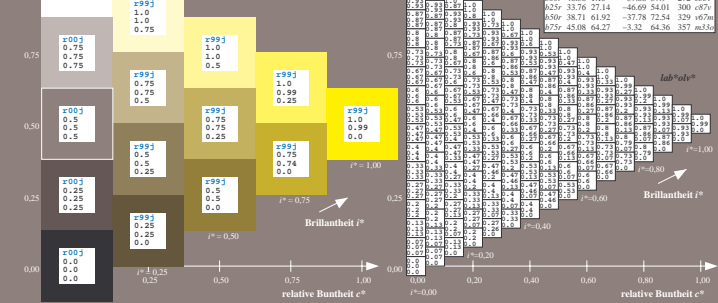
Ein und Ausgabe: Farbmatisches Drucker-Reflexiv-System FRS12_95, L*20-95 für relativen CIELAB-Buntton $h^* = lab^*h^* = h^*_ab/360 = 0.354$
 Daten für jede Farbe:
 $u^*_c = j50g$ $u^*_m = y69l$
 Kontrastreduzierungs-faktor:
 $c_R = 0.9$
 Dreiecks-Helligkeit e^*



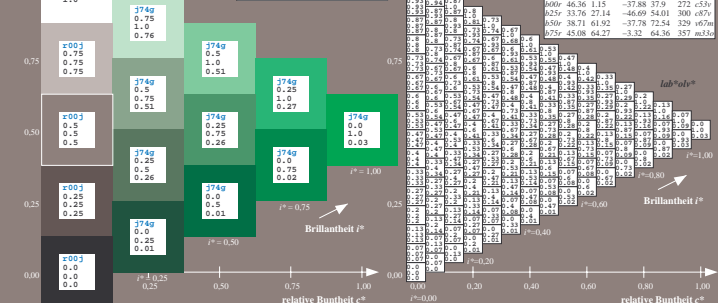
Ein und Ausgabe: Farbmatisches Drucker-Reflexiv-System FRS12_95, L*20-95 für relativen CIELAB-Buntton $h^* = lab^*h^* = h^*_ab/360 = 0.117$
 Daten für jede Farbe:
 $u^*_c = r25j$ $u^*_m = o15y$
 Kontrastreduzierungs-faktor:
 $c_R = 0.9$
 Dreiecks-Helligkeit e^*



Ein und Ausgabe: Farbmatisches Drucker-Reflexiv-System FRS12_95, L*20-95 für relativen CIELAB-Buntton $h^* = lab^*h^* = h^*_ab/360 = 0.256$
 Daten für jede Farbe:
 $u^*_c = j00g$ $u^*_m = o89y$
 Kontrastreduzierungs-faktor:
 $c_R = 0.9$
 Dreiecks-Helligkeit e^*



Ein und Ausgabe: Farbmatisches Drucker-Reflexiv-System FRS12_95, L*20-95 für relativen CIELAB-Buntton $h^* = lab^*h^* = h^*_ab/360 = 0.402$
 Daten für jede Farbe:
 $u^*_c = j75g$ $u^*_m = i03c$
 Kontrastreduzierungs-faktor:
 $c_R = 0.9$
 Dreiecks-Helligkeit e^*



Ein und Ausgabe: Farbmetrisches Drucker-Reflexiv-System FRIS12_95a
 Daten für jede Farbe:
 $u^*_c = 16$ Bunttoner: r25j, ..., b75r
 Kontrastreduzierungsfaktor:
 $c_R = 0.9$

LAB ^a LAB ^b LAB ^a	LAB ^a LAB ^b LAB ^a	LAB ^a LAB ^b LAB ^a	LAB ^a LAB ^b LAB ^a	LAB ^a LAB ^b LAB ^a	LAB ^a LAB ^b LAB ^a
43.8	53.91	39.75	66.98	36	43.8
57.38	-4.65	98.29	98.4	93	57.38
57.76	35.24	58.41	68.22	59	57.76
59.81	19.13	74.52	76.94	76	59.81
60.9	37.06	97.58	97.66	92	60.9
72.25	-26.89	74.73	79.42	110	72.25
60.82	-43.48	57.15	71.81	127	60.82
52.51	-54.15	38.27	66.31	145	52.51
55.08	-44.06	14.13	46.27	162	55.08
57.22	-35.64	-60.31	36.15	180	57.22
50.89	-29.03	-21.86	36.34	217	50.89
57.54	-15.48	-32.25	35.77	244	57.54
46.36	11.15	-37.88	37.9	272	46.36
33.76	27.14	-46.09	54.01	300	33.76
38.71	61.92	-37.78	72.54	328	38.71
45.08	64.27	-3.32	64.36	357	45.08

Ein und Ausgabe: Farbmetrisches Drucker-Reflexiv-System FRIS12_95_L=20_95 für relative CIELAB-Bunttoner $h^* = lab^*h^* = h_{50}/360 = 0.071$
 Daten für jede Farbe:
 $u^*_c = r100$ $u^*_a = r810$
 Kontrastreduzierungsfaktor:
 $c_R = 0.9$
 Dreiecks-Helligkeit e^*

LAB ^a LAB ^b LAB ^a	LAB ^a LAB ^b LAB ^a	LAB ^a LAB ^b LAB ^a	LAB ^a LAB ^b LAB ^a	LAB ^a LAB ^b LAB ^a	LAB ^a LAB ^b LAB ^a
43.8	53.91	39.75	66.98	36	43.8
57.38	-4.65	98.29	98.4	93	57.38
57.76	35.24	58.41	68.22	59	57.76
59.81	19.13	74.52	76.94	76	59.81
60.9	37.06	97.58	97.66	92	60.9
72.25	-26.89	74.73	79.42	110	72.25
60.82	-43.48	57.15	71.81	127	60.82
52.51	-54.15	38.27	66.31	145	52.51
55.08	-44.06	14.13	46.27	162	55.08
57.22	-35.64	-60.31	36.15	180	57.22
50.89	-29.03	-21.86	36.34	217	50.89
57.54	-15.48	-32.25	35.77	244	57.54
46.36	11.15	-37.88	37.9	272	46.36
33.76	27.14	-46.09	54.01	300	33.76
38.71	61.92	-37.78	72.54	328	38.71
45.08	64.27	-3.32	64.36	357	45.08

Ein und Ausgabe: Farbmetrisches Drucker-Reflexiv-System FRIS12_95_L=20_95 für relative CIELAB-Bunttoner $h^* = lab^*h^* = h_{50}/360 = 0.117$
 Daten für jede Farbe:
 $u^*_c = r25j$
 Kontrastreduzierungsfaktor:
 $c_R = 0.9$
 Dreiecks-Helligkeit e^*

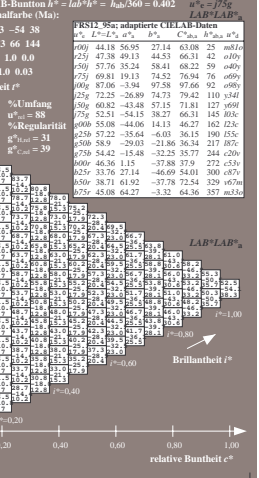
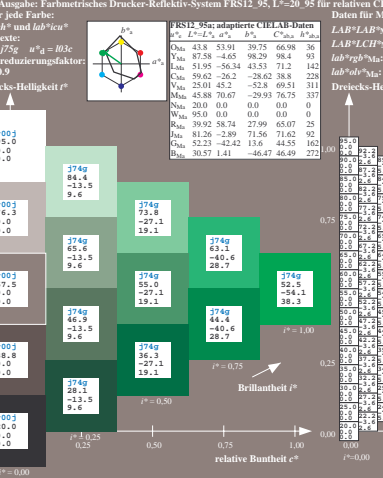
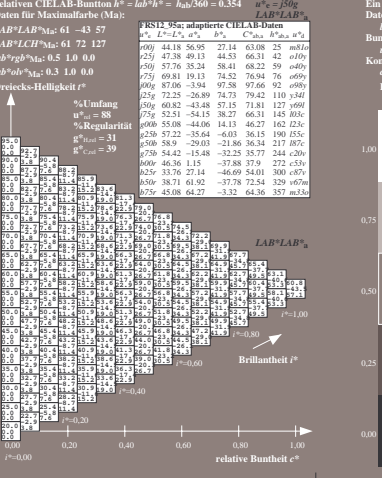
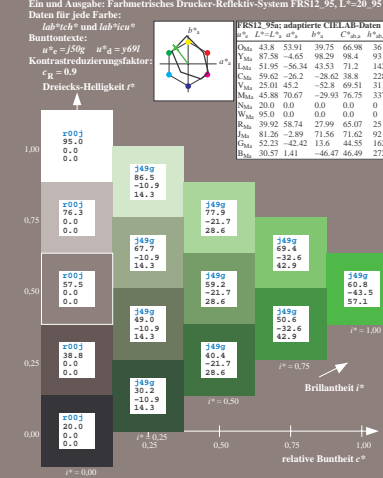
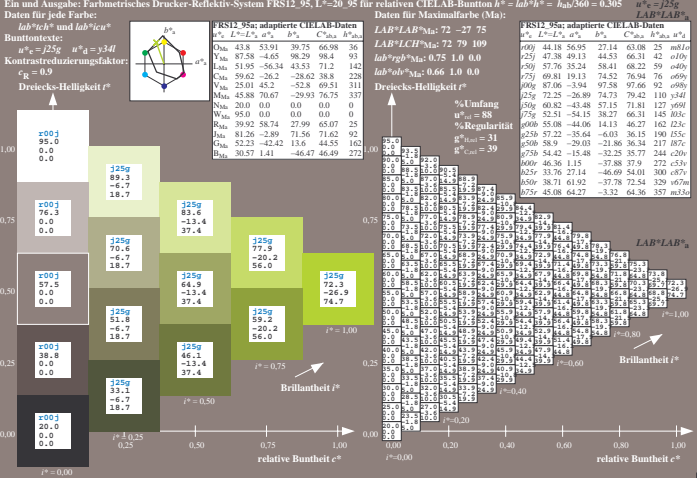
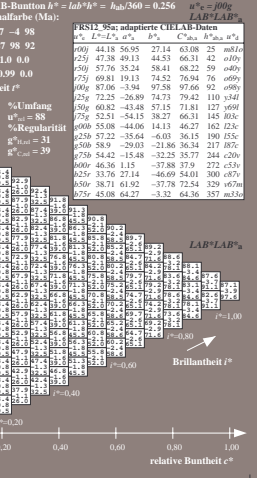
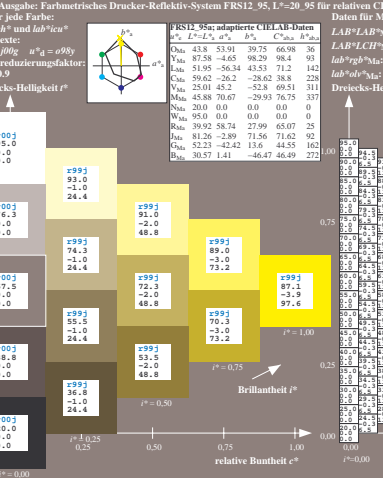
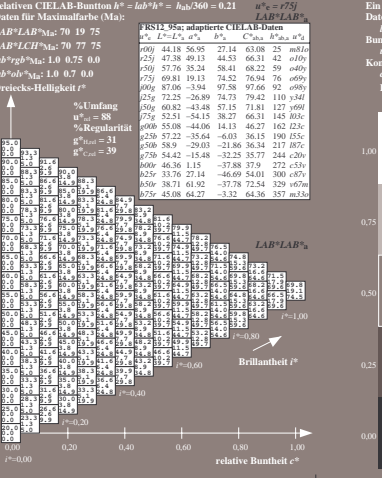
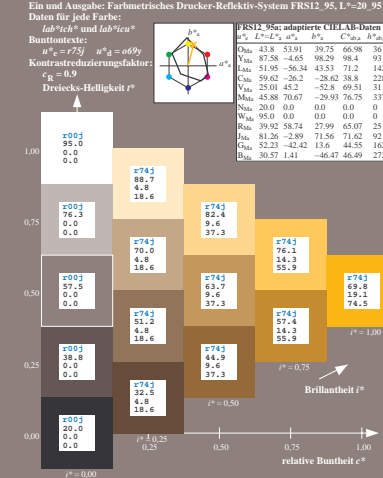
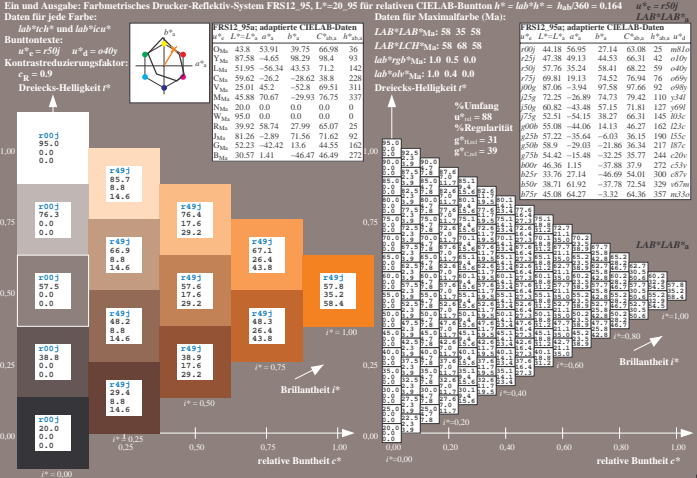
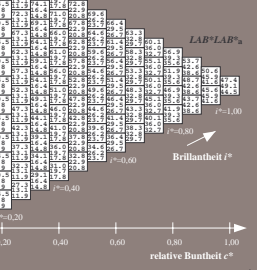
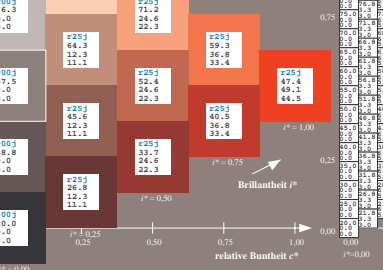
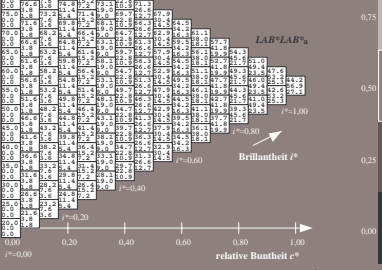
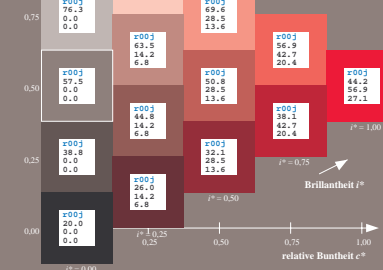
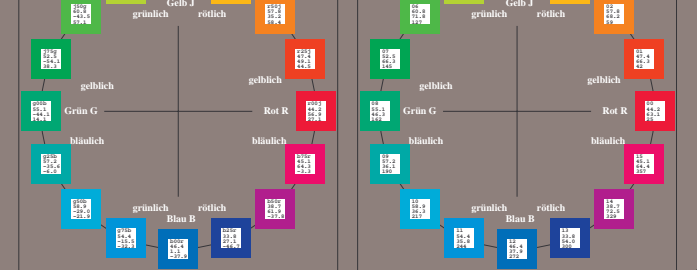
LAB ^a LAB ^b LAB ^a	LAB ^a LAB ^b LAB ^a	LAB ^a LAB ^b LAB ^a	LAB ^a LAB ^b LAB ^a	LAB ^a LAB ^b LAB ^a	LAB ^a LAB ^b LAB ^a
43.8	53.91	39.75	66.98	36	43.8
57.38	-4.65	98.29	98.4	93	57.38
57.76	35.24	58.41	68.22	59	57.76
59.81	19.13	74.52	76.94	76	59.81
60.9	37.06	97.58	97.66	92	60.9
72.25	-26.89	74.73	79.42	110	72.25
60.82	-43.48	57.15	71.81	127	60.82
52.51	-54.15	38.27	66.31	145	52.51
55.08	-44.06	14.13	46.27	162	55.08
57.22	-35.64	-60.31	36.15	180	57.22
50.89	-29.03	-21.86	36.34	217	50.89
57.54	-15.48	-32.25	35.77	244	57.54
46.36	11.15	-37.88	37.9	272	46.36
33.76	27.14	-46.09	54.01	300	33.76
38.71	61.92	-37.78	72.54	328	38.71
45.08	64.27	-3.32	64.36	357	45.08

Ein und Ausgabe: Farbmetrisches Drucker-Reflexiv-System FRIS12_95_L=20_95 für relative CIELAB-Bunttoner $h^* = lab^*h^* = h_{50}/360 = 0.164$
 Daten für jede Farbe:
 $u^*_c = r50j$
 Kontrastreduzierungsfaktor:
 $c_R = 0.9$
 Dreiecks-Helligkeit e^*

LAB ^a LAB ^b LAB ^a	LAB ^a LAB ^b LAB ^a	LAB ^a LAB ^b LAB ^a	LAB ^a LAB ^b LAB ^a	LAB ^a LAB ^b LAB ^a	LAB ^a LAB ^b LAB ^a
43.8	53.91	39.75	66.98	36	43.8
57.38	-4.65	98.29	98.4	93	57.38
57.76	35.24	58.41	68.22	59	57.76
59.81	19.13	74.52	76.94	76	59.81
60.9	37.06	97.58	97.66	92	60.9
72.25	-26.89	74.73	79.42	110	72.25
60.82	-43.48	57.15	71.81	127	60.82
52.51	-54.15	38.27	66.31	145	52.51
55.08	-44.06	14.13	46.27	162	55.08
57.22	-35.64	-60.31	36.15	180	57.22
50.89	-29.03	-21.86	36.34	217	50.89
57.54	-15.48	-32.25	35.77	244	57.54
46.36	11.15	-37.88	37.9	272	46.36
33.76	27.14	-46.09	54.01	300	33.76
38.71	61.92	-37.78	72.54	328	38.71
45.08	64.27	-3.32	64.36	357	45.08

Ein und Ausgabe: Farbmetrisches Drucker-Reflexiv-System FRIS12_95_L=20_95 für relative CIELAB-Bunttoner $h^* = lab^*h^* = h_{50}/360 = 0.21$
 Daten für jede Farbe:
 $u^*_c = r75j$
 Kontrastreduzierungsfaktor:
 $c_R = 0.9$
 Dreiecks-Helligkeit e^*

LAB ^a LAB ^b LAB ^a	LAB ^a LAB ^b LAB ^a	LAB ^a LAB ^b LAB ^a	LAB ^a LAB ^b LAB ^a	LAB ^a LAB ^b LAB ^a	LAB ^a LAB ^b LAB ^a
43.8	53.91	39.75	66.98	36	43.8
57.38	-4.65	98.29	98.4	93	57.38
57.76	35.24	58.41	68.22	59	57.76
59.81	19.13	74.52	76.94	76	59.81
60.9	37.06	97.58	97.66	92	60.9
72.25	-26.89	74.73	79.42	110	72.25
60.82	-43.48	57.15	71.81	127	60.82
52.51	-54.15	38.27	66.31	145	52.51
55.08	-44.06	14.13	46.27	162	55.08
57.22	-35.64	-60.31	36.15	180	57.22
50.89	-29.03	-21.86	36.34	217	50.89
57.54	-15.48	-32.25	35.77	244	57.54
46.36	11.15	-37.88	37.9	272	46.36
33.76	27.14	-46.09	54.01	300	33.76
38.71	61.92	-37.78	72.54	328	38.71
45.08	64.27	-3.32	64.36	357	45.08



Ein und Ausgabe: Farbmetrisches Drucker-Reflexiv-System FR512_95a
 Daten für jede Farbe:
 $u^*_c = 0$ $u^*_m = 0$ $u^*_s = 0$
 Elementar-Bunttonexte:
 $u^*_c = 16$ Bunttonexte: r25j, ..., b75r
 Kontrastreduzierungsfaktor:
 $c_R = 0.9$

FR512_95a adaptierte CIELAB-Daten

L^*	a^*	b^*	C_{ab}^*	h_{ab}^*			
Da	43.8	54.1	32.95	63.61	31		
Dy	47.38	49.13	44.53	66.31	42	0.09	
Dz	57.76	35.24	58.41	68.22	59	0.09	
Dx	59.62	-25.67	-35.94	44.17	234	0.09	
Dy	25.01	45.64	-58.96	74.57	308	0.09	
Dz	72.25	-26.89	74.73	79.42	110	0.54	
Dx	60.82	-43.48	57.15	71.81	127	0.69	
Dy	52.51	-84.15	38.27	66.31	145	0.84	
Dz	55.08	-44.06	14.13	46.27	162	1.02	
Dx	57.22	-35.61	-40.07	36.15	198	1.55	
Dy	50.89	-29.03	-21.86	36.34	217	0.87	
Dz	57.54	-15.48	-32.25	35.77	244	2.09	
Dx	60.46	36.115	-17.88	37.9	272	2.59	
Dy	62.5	33.76	27.14	-46.09	300	0.87	
Dz	65.09	38.71	61.92	-37.78	328	0.67	
Dx	67.5	45.08	64.27	-3.32	346.36	357	0.84

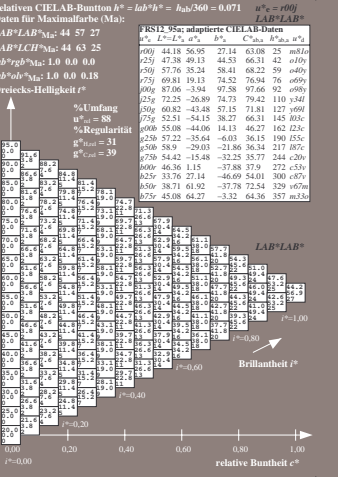
FR512_95 CIELAB-Daten

L^*	a^*	b^*	C_{ab}^*	h_{ab}^*			
Da	43.8	54.1	32.95	63.61	31		
Dy	47.38	49.13	44.53	66.31	42	0.09	
Dz	57.76	35.24	58.41	68.22	59	0.09	
Dx	59.62	-25.67	-35.94	44.17	234	0.09	
Dy	25.01	45.64	-58.96	74.57	308	0.09	
Dz	72.25	-26.89	74.73	79.42	110	0.54	
Dx	60.82	-43.48	57.15	71.81	127	0.69	
Dy	52.51	-84.15	38.27	66.31	145	0.84	
Dz	55.08	-44.06	14.13	46.27	162	1.02	
Dx	57.22	-35.61	-40.07	36.15	198	1.55	
Dy	50.89	-29.03	-21.86	36.34	217	0.87	
Dz	57.54	-15.48	-32.25	35.77	244	2.09	
Dx	60.46	36.115	-17.88	37.9	272	2.59	
Dy	62.5	33.76	27.14	-46.09	300	0.87	
Dz	65.09	38.71	61.92	-37.78	328	0.67	
Dx	67.5	45.08	64.27	-3.32	346.36	357	0.84

Ein und Ausgabe: Farbmetrisches Drucker-Reflexiv-System FR512_95, L*=20_95 für relative CIELAB-Bunttonexte $h^* = lab^*h^* = h_{ab}^*/360 = 0.071$ $u^*_c = 0$ $u^*_m = 0$ $u^*_s = 0$
 Daten für jede Farbe:
 lab^*h^* und $lab^*i^*c^*$
 Bunttonexte:
 $u^*_c = 0$ $u^*_m = 0$ $u^*_s = 0$
 Kontrastreduzierungsfaktor:
 $c_R = 0.9$
 Dreiecks-Helligkeit i^*

FR512_95 CIELAB-Daten

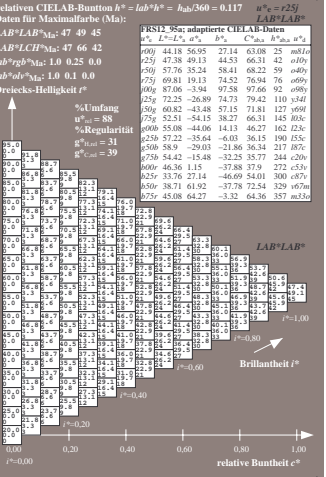
L^*	a^*	b^*	C_{ab}^*	h_{ab}^*			
Da	43.8	54.1	32.95	63.61	31		
Dy	47.38	49.13	44.53	66.31	42	0.09	
Dz	57.76	35.24	58.41	68.22	59	0.09	
Dx	59.62	-25.67	-35.94	44.17	234	0.09	
Dy	25.01	45.64	-58.96	74.57	308	0.09	
Dz	72.25	-26.89	74.73	79.42	110	0.54	
Dx	60.82	-43.48	57.15	71.81	127	0.69	
Dy	52.51	-84.15	38.27	66.31	145	0.84	
Dz	55.08	-44.06	14.13	46.27	162	1.02	
Dx	57.22	-35.61	-40.07	36.15	198	1.55	
Dy	50.89	-29.03	-21.86	36.34	217	0.87	
Dz	57.54	-15.48	-32.25	35.77	244	2.09	
Dx	60.46	36.115	-17.88	37.9	272	2.59	
Dy	62.5	33.76	27.14	-46.09	300	0.87	
Dz	65.09	38.71	61.92	-37.78	328	0.67	
Dx	67.5	45.08	64.27	-3.32	346.36	357	0.84



Ein und Ausgabe: Farbmetrisches Drucker-Reflexiv-System FR512_95, L*=20_95 für relative CIELAB-Bunttonexte $h^* = lab^*h^* = h_{ab}^*/360 = 0.117$ $u^*_c = r25j$ $u^*_m = 0$ $u^*_s = 0$
 Daten für jede Farbe:
 lab^*h^* und $lab^*i^*c^*$
 Bunttonexte:
 $u^*_c = r25j$ $u^*_m = 0$ $u^*_s = 0$
 Kontrastreduzierungsfaktor:
 $c_R = 0.9$
 Dreiecks-Helligkeit i^*

FR512_95 CIELAB-Daten

L^*	a^*	b^*	C_{ab}^*	h_{ab}^*			
Da	43.8	54.1	32.95	63.61	31		
Dy	47.38	49.13	44.53	66.31	42	0.09	
Dz	57.76	35.24	58.41	68.22	59	0.09	
Dx	59.62	-25.67	-35.94	44.17	234	0.09	
Dy	25.01	45.64	-58.96	74.57	308	0.09	
Dz	72.25	-26.89	74.73	79.42	110	0.54	
Dx	60.82	-43.48	57.15	71.81	127	0.69	
Dy	52.51	-84.15	38.27	66.31	145	0.84	
Dz	55.08	-44.06	14.13	46.27	162	1.02	
Dx	57.22	-35.61	-40.07	36.15	198	1.55	
Dy	50.89	-29.03	-21.86	36.34	217	0.87	
Dz	57.54	-15.48	-32.25	35.77	244	2.09	
Dx	60.46	36.115	-17.88	37.9	272	2.59	
Dy	62.5	33.76	27.14	-46.09	300	0.87	
Dz	65.09	38.71	61.92	-37.78	328	0.67	
Dx	67.5	45.08	64.27	-3.32	346.36	357	0.84



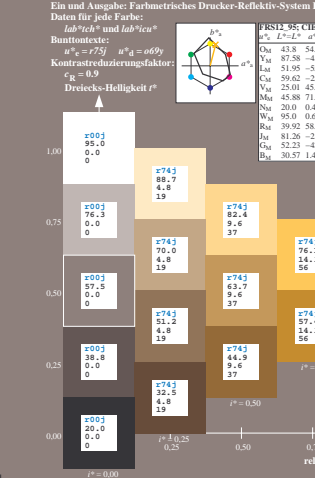
Ein und Ausgabe: Farbmetrisches Drucker-Reflexiv-System FR512_95, L*=20_95 für relative CIELAB-Bunttonexte $h^* = lab^*h^* = h_{ab}^*/360 = 0.164$ $u^*_c = r50j$ $u^*_m = 0$ $u^*_s = 0$
 Daten für jede Farbe:
 lab^*h^* und $lab^*i^*c^*$
 Bunttonexte:
 $u^*_c = r50j$ $u^*_m = 0$ $u^*_s = 0$
 Kontrastreduzierungsfaktor:
 $c_R = 0.9$
 Dreiecks-Helligkeit i^*

FR512_95 CIELAB-Daten

L^*	a^*	b^*	C_{ab}^*	h_{ab}^*			
Da	43.8	54.1	32.95	63.61	31		
Dy	47.38	49.13	44.53	66.31	42	0.09	
Dz	57.76	35.24	58.41	68.22	59	0.09	
Dx	59.62	-25.67	-35.94	44.17	234	0.09	
Dy	25.01	45.64	-58.96	74.57	308	0.09	
Dz	72.25	-26.89	74.73	79.42	110	0.54	
Dx	60.82	-43.48	57.15	71.81	127	0.69	
Dy	52.51	-84.15	38.27	66.31	145	0.84	
Dz	55.08	-44.06	14.13	46.27	162	1.02	
Dx	57.22	-35.61	-40.07	36.15	198	1.55	
Dy	50.89	-29.03	-21.86	36.34	217	0.87	
Dz	57.54	-15.48	-32.25	35.77	244	2.09	
Dx	60.46	36.115	-17.88	37.9	272	2.59	
Dy	62.5	33.76	27.14	-46.09	300	0.87	
Dz	65.09	38.71	61.92	-37.78	328	0.67	
Dx	67.5	45.08	64.27	-3.32	346.36	357	0.84

FR512_95 adaptierte CIELAB-Daten

L^*	a^*	b^*	C_{ab}^*	h_{ab}^*			
Da	43.8	54.1	32.95	63.61	31		
Dy	47.38	49.13	44.53	66.31	42	0.09	
Dz	57.76	35.24	58.41	68.22	59	0.09	
Dx	59.62	-25.67	-35.94	44.17	234	0.09	
Dy	25.01	45.64	-58.96	74.57	308	0.09	
Dz	72.25	-26.89	74.73	79.42	110	0.54	
Dx	60.82	-43.48	57.15	71.81	127	0.69	
Dy	52.51	-84.15	38.27	66.31	145	0.84	
Dz	55.08	-44.06	14.13	46.27	162	1.02	
Dx	57.22	-35.61	-40.07	36.15	198	1.55	
Dy	50.89	-29.03	-21.86	36.34	217	0.87	
Dz	57.54	-15.48	-32.25	35.77	244	2.09	
Dx	60.46	36.115	-17.88	37.9	272	2.59	
Dy	62.5	33.76	27.14	-46.09	300	0.87	
Dz	65.09	38.71	61.92	-37.78	328	0.67	
Dx	67.5	45.08	64.27	-3.32	346.36	357	0.84



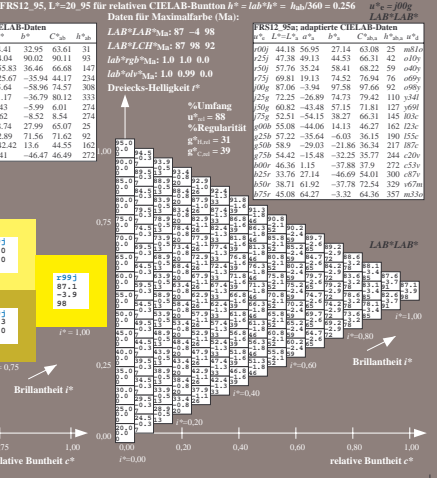
Ein und Ausgabe: Farbmetrisches Drucker-Reflexiv-System FR512_95, L*=20_95 für relative CIELAB-Bunttonexte $h^* = lab^*h^* = h_{ab}^*/360 = 0.21$ $u^*_c = r75j$ $u^*_m = 0$ $u^*_s = 0$
 Daten für jede Farbe:
 lab^*h^* und $lab^*i^*c^*$
 Bunttonexte:
 $u^*_c = r75j$ $u^*_m = 0$ $u^*_s = 0$
 Kontrastreduzierungsfaktor:
 $c_R = 0.9$
 Dreiecks-Helligkeit i^*

FR512_95 CIELAB-Daten

L^*	a^*	b^*	C_{ab}^*	h_{ab}^*			
Da	43.8	54.1	32.95	63.61	31		
Dy	47.38	49.13	44.53	66.31	42	0.09	
Dz	57.76	35.24	58.41	68.22	59	0.09	
Dx	59.62	-25.67	-35.94	44.17	234	0.09	
Dy	25.01	45.64	-58.96	74.57	308	0.09	
Dz	72.25	-26.89	74.73	79.42	110	0.54	
Dx	60.82	-43.48	57.15	71.81	127	0.69	
Dy	52.51	-84.15	38.27	66.31	145	0.84	
Dz	55.08	-44.06	14.13	46.27	162	1.02	
Dx	57.22	-35.61	-40.07	36.15	198	1.55	
Dy	50.89	-29.03	-21.86	36.34	217	0.87	
Dz	57.54	-15.48	-32.25	35.77	244	2.09	
Dx	60.46	36.115	-17.88	37.9	272	2.59	
Dy	62.5	33.76	27.14	-46.09	300	0.87	
Dz	65.09	38.71	61.92	-37.78	328	0.67	
Dx	67.5	45.08	64.27	-3.32	346.36	357	0.84

FR512_95 adaptierte CIELAB-Daten

L^*	a^*	b^*	C_{ab}^*	h_{ab}^*			
Da	43.8	54.1	32.95	63.61	31		
Dy	47.38	49.13	44.53	66.31	42	0.09	
Dz	57.76	35.24	58.41	68.22	59	0.09	
Dx	59.62	-25.67	-35.94	44.17	234	0.09	
Dy	25.01	45.64	-58.96	74.57	308	0.09	
Dz	72.25	-26.89	74.73	79.42	110	0.54	
Dx	60.82	-43.48	57.15	71.81	127	0.69	
Dy	52.51	-84.15	38.27	66.31	145	0.84	
Dz	55.08	-44.06	14.13	46.27	162	1.02	
Dx	57.22	-35.61	-40.07	36.15	198	1.55	
Dy	50.89	-29.03	-21.86	36.34	217	0.87	
Dz	57.54	-15.48	-32.25	35.77	244	2.09	
Dx	60.46	36.115	-17.88	37.9	272	2.59	
Dy	62.5	33.76	27.14	-46.09	300	0.87	
Dz	65.09	38.71	61.92	-37.78	328	0.67	
Dx	67.5	45.08	64.27	-3.32	346.36	357	0.84



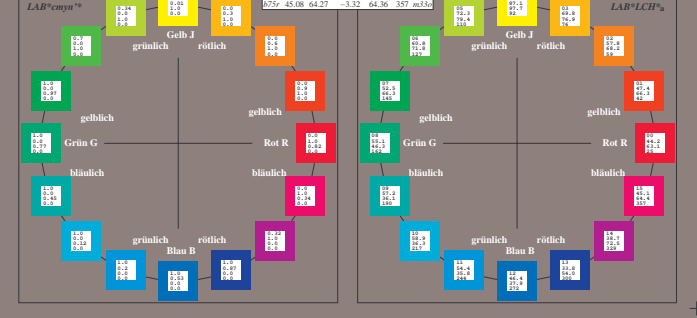
Ein und Ausgabe: Farbmetrisches Drucker-Reflexiv-System FR512_95, L*=20_95 für relative CIELAB-Bunttonexte $h^* = lab^*h^* = h_{ab}^*/360 = 0.305$ $u^*_c = r25g$ $u^*_m = 0$ $u^*_s = 0$
 Daten für jede Farbe:
 lab^*h^* und $lab^*i^*c^*$
 Bunttonexte:
 $u^*_c = r25g$ $u^*_m = 0$ $u^*_s = 0$
 Kontrastreduzierungsfaktor:
 $c_R = 0.9$
 Dreiecks-Helligkeit i^*

FR512_95 CIELAB-Daten

L^*	a^*	b^*	C_{ab}^*	h_{ab}^*		
Da	43.8	54.1	32.95	63.61	31	
Dy	47.38	49.13	44.53	66.31	42	0.09
Dz	57.76	35.24	58.41	68.22	59	0.09
Dx	59.62	-25.67	-35.94	44.17	2	

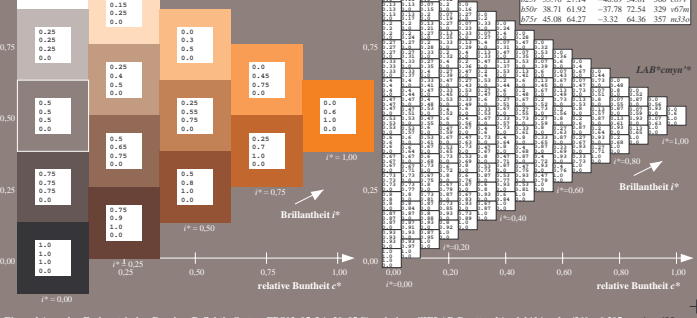
Ein und Ausgabe: Farbmatisches Drucker-Reflexiv-System FRS12_95a
 Daten für jede Farbe:
 $u^*_c = 16$ Bunttoner: r02j, ..., b75r
 Kontrastreduzierungsfaktor:
 $c_R = 0.9$

LAB/LCH/Mat	L^*	a^*	b^*	C_{ab}^*	h^*
Da	43.8	54.1	32.95	63.61	31
Ya	87.58	-4.04	90.02	90.11	93
Ma	51.95	-55.83	36.46	66.68	147
Cu	59.62	-25.67	-35.94	44.17	234
Wa	25.01	45.64	-58.96	74.57	308
Ca	45.88	71.17	-36.79	80.12	333
Nu	20.0	0.43	-5.99	6.01	274
Wu	95.0	0.62	-8.52	8.54	274
Ru	39.92	58.74	27.99	65.07	25
Bu	81.26	-2.89	71.56	71.62	92
Gu	52.23	-42.42	13.6	44.55	162
Bo	30.57	1.41	-46.47	46.49	272



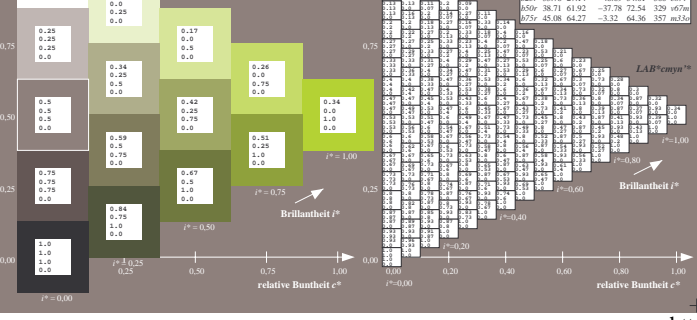
Ein und Ausgabe: Farbmatisches Drucker-Reflexiv-System FRS12_95a
 Daten für jede Farbe:
 $u^*_c = r50j$
 Kontrastreduzierungsfaktor:
 $c_R = 0.9$

LAB/LCH/Mat	L^*	a^*	b^*	C_{ab}^*	h^*
Da	43.8	54.1	32.95	63.61	31
Ya	87.58	-4.04	90.02	90.11	93
Ma	51.95	-55.83	36.46	66.68	147
Cu	59.62	-25.67	-35.94	44.17	234
Wa	25.01	45.64	-58.96	74.57	308
Ca	45.88	71.17	-36.79	80.12	333
Nu	20.0	0.43	-5.99	6.01	274
Wu	95.0	0.62	-8.52	8.54	274
Ru	39.92	58.74	27.99	65.07	25
Bu	81.26	-2.89	71.56	71.62	92
Gu	52.23	-42.42	13.6	44.55	162
Bo	30.57	1.41	-46.47	46.49	272



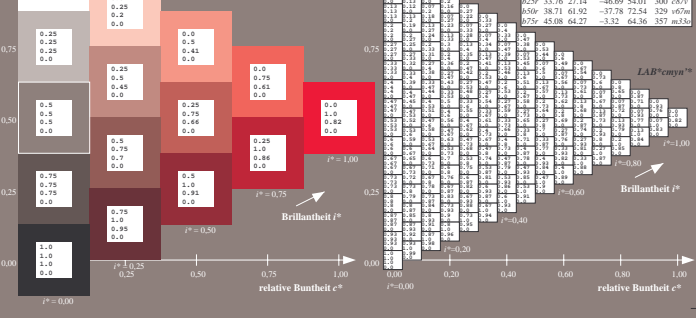
Ein und Ausgabe: Farbmatisches Drucker-Reflexiv-System FRS12_95a
 Daten für jede Farbe:
 $u^*_c = j25g$
 Kontrastreduzierungsfaktor:
 $c_R = 0.9$

LAB/LCH/Mat	L^*	a^*	b^*	C_{ab}^*	h^*
Da	43.8	54.1	32.95	63.61	31
Ya	87.58	-4.04	90.02	90.11	93
Ma	51.95	-55.83	36.46	66.68	147
Cu	59.62	-25.67	-35.94	44.17	234
Wa	25.01	45.64	-58.96	74.57	308
Ca	45.88	71.17	-36.79	80.12	333
Nu	20.0	0.43	-5.99	6.01	274
Wu	95.0	0.62	-8.52	8.54	274
Ru	39.92	58.74	27.99	65.07	25
Bu	81.26	-2.89	71.56	71.62	92
Gu	52.23	-42.42	13.6	44.55	162
Bo	30.57	1.41	-46.47	46.49	272



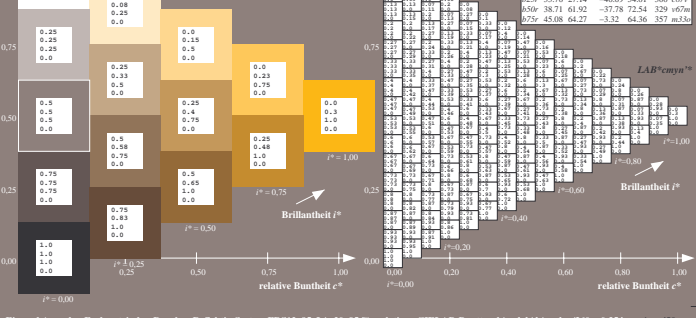
Ein und Ausgabe: Farbmatisches Drucker-Reflexiv-System FRS12_95, L*20_95 für relativen CIELAB-Buntton $h^* = lab^*h^* = h_{ab}/360 = 0.071$
 Daten für jede Farbe:
 $u^*_c = r01j$
 Kontrastreduzierungsfaktor:
 $c_R = 0.9$

LAB/LCH/Mat	L^*	a^*	b^*	C_{ab}^*	h^*
Da	43.8	54.1	32.95	63.61	31
Ya	87.58	-4.04	90.02	90.11	93
Ma	51.95	-55.83	36.46	66.68	147
Cu	59.62	-25.67	-35.94	44.17	234
Wa	25.01	45.64	-58.96	74.57	308
Ca	45.88	71.17	-36.79	80.12	333
Nu	20.0	0.43	-5.99	6.01	274
Wu	95.0	0.62	-8.52	8.54	274
Ru	39.92	58.74	27.99	65.07	25
Bu	81.26	-2.89	71.56	71.62	92
Gu	52.23	-42.42	13.6	44.55	162
Bo	30.57	1.41	-46.47	46.49	272



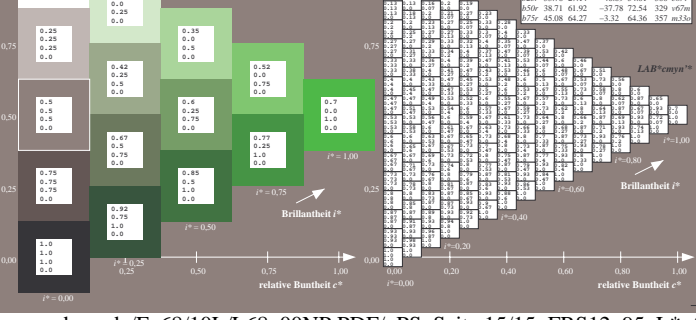
Ein und Ausgabe: Farbmatisches Drucker-Reflexiv-System FRS12_95, L*20_95 für relativen CIELAB-Buntton $h^* = lab^*h^* = h_{ab}/360 = 0.164$
 Daten für jede Farbe:
 $u^*_c = r50j$
 Kontrastreduzierungsfaktor:
 $c_R = 0.9$

LAB/LCH/Mat	L^*	a^*	b^*	C_{ab}^*	h^*
Da	43.8	54.1	32.95	63.61	31
Ya	87.58	-4.04	90.02	90.11	93
Ma	51.95	-55.83	36.46	66.68	147
Cu	59.62	-25.67	-35.94	44.17	234
Wa	25.01	45.64	-58.96	74.57	308
Ca	45.88	71.17	-36.79	80.12	333
Nu	20.0	0.43	-5.99	6.01	274
Wu	95.0	0.62	-8.52	8.54	274
Ru	39.92	58.74	27.99	65.07	25
Bu	81.26	-2.89	71.56	71.62	92
Gu	52.23	-42.42	13.6	44.55	162
Bo	30.57	1.41	-46.47	46.49	272



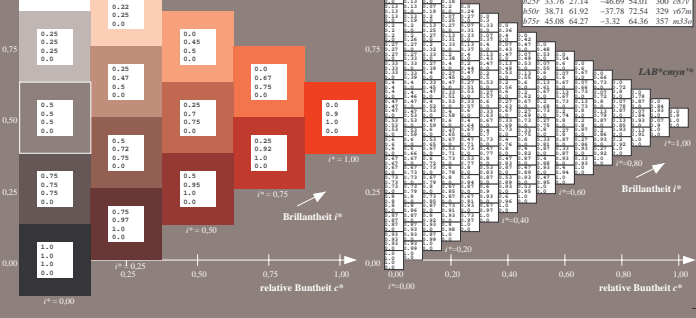
Ein und Ausgabe: Farbmatisches Drucker-Reflexiv-System FRS12_95, L*20_95 für relativen CIELAB-Buntton $h^* = lab^*h^* = h_{ab}/360 = 0.21$
 Daten für jede Farbe:
 $u^*_c = r75j$
 Kontrastreduzierungsfaktor:
 $c_R = 0.9$

LAB/LCH/Mat	L^*	a^*	b^*	C_{ab}^*	h^*
Da	43.8	54.1	32.95	63.61	31
Ya	87.58	-4.04	90.02	90.11	93
Ma	51.95	-55.83	36.46	66.68	147
Cu	59.62	-25.67	-35.94	44.17	234
Wa	25.01	45.64	-58.96	74.57	308
Ca	45.88	71.17	-36.79	80.12	333
Nu	20.0	0.43	-5.99	6.01	274
Wu	95.0	0.62	-8.52	8.54	274
Ru	39.92	58.74	27.99	65.07	25
Bu	81.26	-2.89	71.56	71.62	92
Gu	52.23	-42.42	13.6	44.55	162
Bo	30.57	1.41	-46.47	46.49	272



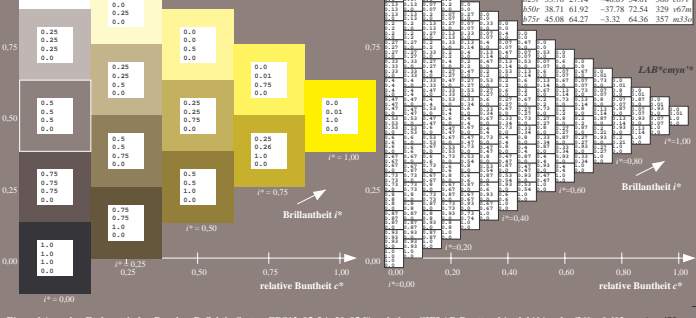
Ein und Ausgabe: Farbmatisches Drucker-Reflexiv-System FRS12_95, L*20_95 für relativen CIELAB-Buntton $h^* = lab^*h^* = h_{ab}/360 = 0.117$
 Daten für jede Farbe:
 $u^*_c = r25j$

LAB/LCH/Mat	L^*	a^*	b^*	C_{ab}^*	h^*
Da	43.8	54.1	32.95	63.61	31
Ya	87.58	-4.04	90.02	90.11	93
Ma	51.95	-55.83	36.46	66.68	147
Cu	59.62	-25.67	-35.94	44.17	234
Wa	25.01	45.64	-58.96	74.57	308
Ca	45.88	71.17	-36.79	80.12	333
Nu	20.0	0.43	-5.99	6.01	274
Wu	95.0	0.62	-8.52	8.54	274
Ru	39.92	58.74	27.99	65.07	25
Bu	81.26	-2.89	71.56	71.62	92
Gu	52.23	-42.42	13.6	44.55	162
Bo	30.57	1.41	-46.47	46.49	272



Ein und Ausgabe: Farbmatisches Drucker-Reflexiv-System FRS12_95, L*20_95 für relativen CIELAB-Buntton $h^* = lab^*h^* = h_{ab}/360 = 0.256$
 Daten für jede Farbe:
 $u^*_c = j00g$

LAB/LCH/Mat	L^*	a^*	b^*	C_{ab}^*	h^*
Da	43.8	54.1	32.95	63.61	31
Ya	87.58	-4.04	90.02	90.11	93
Ma	51.95	-55.83	36.46	66.68	147
Cu	59.62	-25.67	-35.94	44.17	234
Wa	25.01	45.64	-58.96	74.57	308
Ca	45.88	71.17	-36.79	80.12	333
Nu	20.0	0.43	-5.99	6.01	274
Wu	95.0	0.62	-8.52	8.54	274
Ru	39.92	58.74	27.99	65.07	25
Bu	81.26	-2.89	71.56	71.62	92
Gu	52.23	-42.42	13.6	44.55	162
Bo	30.57	1.41	-46.47	46.49	272



Ein und Ausgabe: Farbmatisches Drucker-Reflexiv-System FRS12_95, L*20_95 für relativen CIELAB-Buntton $h^* = lab^*h^* = h_{ab}/360 = 0.354$
 Daten für jede Farbe:
 $u^*_c = j50g$

LAB/LCH/Mat	L^*	a^*	b^*	C_{ab}^*	h^*
Da	43.8	54.1	32.95	63.61	31
Ya	87.58	-4.04	90.02	90.11	93
Ma	51.95	-55.83	36.46	66.68	147
Cu	59.62	-25.67	-35.94	44.17	234
Wa	25.01	45.64	-58.96	74.57	308
Ca	45.88	71.17	-36.79	80.12	333
Nu	20.0	0.43	-5.99	6.01	274
Wu	95.0	0.62	-8.52	8.54	274
Ru	39.92	58.74	27.99	65.07	25
Bu	81.26	-2.89	71.56	71.62	92
Gu	52.23	-42.42	13.6	44.55	162
Bo	30.57	1.41	-46.47	46.49	272

